

МИНИСТЕРСТВО СЕЛЬСКОГО ХОЗЯЙСТВА РОССИЙСКОЙ
ФЕДЕРАЦИИ

ФГБОУ ВО «КУБАНСКИЙ ГОСУДАРСТВЕННЫЙ АГРАРНЫЙ
УНИВЕРСИТЕТ
ИМЕНИ И. Т. ТРУБИЛИНА»

Факультет прикладной информатики
Кафедра компьютерных технологий и систем

**ПОЯСНИТЕЛЬНАЯ ЗАПИСКА
к курсовой работе**

по дисциплине: ИНТЕЛЛЕКТУАЛЬНЫЕ ИНФОРМАЦИОННЫЕ СИСТЕМЫ
на тему:

Аск-анализ питательных свойств продуктов быстрого питания в
MacDonalds на основе данных web- сервера Kaggle

выполнила студентка группы ИТ1401 Мороз Сергей Игоревич

Допущена к защите _____

Руководитель проекта _____ Луценко Евгений Вениаминович,
д.э.н., к.т.н., профессор
(подпись, расшифровка подписи)

Нормоконтролер _____ Николаева Ирина Валентиновна, к.т.н.,
доцент
(подпись, расшифровка подписи)

Защищена _____ Оценка

_____ (дата)

Члены комиссии _____ В.И. Лойко

И. В. Николаева
(подпись, дата, расшифровка подписи)

Краснодар

2017 г.

МИНИСТЕРСТВО СЕЛЬСКОГО ХОЗЯЙСТВА РОССИЙСКОЙ ФЕДЕРАЦИИ

ФГБОУ ВО «КУБАНСКИЙ ГОСУДАРСТВЕННЫЙ АГРАРНЫЙ УНИВЕРСИТЕТ
ИМЕНИ И. Т. ТРУБИЛИНА»

Факультет прикладной информатики
Кафедра компьютерных технологий и систем

УТВЕРЖДАЮ:

Зав. кафедрой КТС _____ В. И. Лойко

**ЗАДАНИЕ
на курсовую работу**

Студентке: ИТ1401 группы 3 курса

Факультета прикладной информатики

Специальности: 09.03.02 Информационные системы и технологии _____
(шифр)

Мороз Сергей Игоревич
(Ф.И.О.)

Тема проекта: Аск-анализ питательных свойств продуктов быстрого питания в
MacDonalds на основе данных web- сервера Kaggle

Содержание задания: Проанализировать методы формирования обобщенных образов классов и решения задач идентификации конкретных объектов с классами, принятия решений и исследования моделируемой предметной области путем исследования ее модели

Объем работы:

а) пояснительная записка к работе _____ листа формата А4
б) графическая часть _____ лист формата А4

Рекомендуемая литература: _ Луценко Е.В. Лабораторный практикум по интеллектуальным информационным системам: Учебное пособие для бакалавриата. 7-е изд., перераб. и доп.- Краснодар: КубГАУ – 2016, – 615 с., в электронном виде на сайте автора: <http://lc.kubagro.ru/aidos/p14.htm>

Срок выполнения проекта: с “ ” _____ по “ ” _____ 2017 г.

Срок защиты: “ ” _____ 2017 г.

Дата выдачи задания: “ ” _____ 2017 г.

Дата сдачи проекта на кафедру: “ ” _____ 2017 г.

Руководитель проекта: _____ Луценко Евгений Вениаминович,
д.э.н., к.т.н., профессор

(подпись, Ф.И.О., звание, степень)

Задание принял студент _____ “ ” _____ 2017 г.
(подпись, дата)

Краснодар
2017 г.

СОДЕРЖАНИЕ

| | |
|---|-----------|
| ВВЕДЕНИЕ..... | 8 |
| 1. СИНТЕЗ И ВЕРИФИКАЦИЯ МОДЕЛЕЙ..... | 8 |
| 1.1. Описание решения..... | 7 |
| 1.2. Преобразование исходных данных из CSV-формата в файл исходных данных MS Excel..... | 8 |
| 1.3. Синтез и верификация статистических и интеллектуальных моделей..... | 14 |
| 1.4. Виды моделей системы «Эйдос»..... | 16 |
| 1.5. Результаты верификации моделей..... | 17 |
| 2. РЕШЕНИЕ ЗАДАЧ ИДЕНТИФИКАЦИИ В НАИБОЛЕЕ ДОСТОВЕРНОЙ МОДЕЛИ..... | 21 |
| 2.1. Решение задачи..... | 21 |
| 2.2. Когнитивные функции..... | 24 |
| 2.3. SWOT и PEST матрицы и диаграммы..... | 29 |
| 2.4. Нелокальные Нейронные Сети И Нейроны..... | 31 |
| 2.5. Кластерный и Конструктивный Анализ..... | 33. |
| ЗАКЛЮЧЕНИЕ..... | 34 |
| СПИСОК ИСПОЛЬЗОВАННЫХ ИСТОЧНИКОВ..... | 35 |

ВВЕДЕНИЕ

Создание систем искусственного интеллекта является одним из важных и перспективных направлений развития современных информационных технологий. Так как существует множество альтернатив систем искусственного интеллекта, то возникает необходимость оценки качества математических моделей этих систем. В данной работе рассмотрено решение задачи по поиску зависимости состава продуктов быстрого питания от выбранной категории.

Для достижения поставленной цели необходимы свободный доступ к тестовым исходным данным и методика, которая поможет преобразовать эти данные в форму, которая необходима для работы в системе искусственного интеллекта. Удачным выбором является сборник баз данных Kaggle.

В данной курсовой работе использована база данных «menu» из банка исходных данных по задачам искусственного интеллекта – репозитория Kaggle.

Для решения задачи используем стандартные возможности Microsoft Office Word и Excel, блокнот, а также систему искусственного интеллекта "Эйдос- X++".

1. СИНТЕЗ И ВЕРИФИКАЦИЯ МОДЕЛЕЙ

1.1. Описание решения

В соответствии с методологией АСК-анализа решение поставленной задачи проведем в четыре этапа:

1. Преобразование исходных данных из csv-формата в промежуточные файлы MS Excel.
2. Преобразование исходных данных из промежуточных файлов MS Excel в базы данных системы "Эйдос".
3. Синтез и верификация моделей предметной области.

4. Применение моделей для решения задач идентификации, прогнозирования и исследования предметной области.

1.2. Преобразование исходных данных из CSV-формата в файл исходных данных MS Excel

Из электронного ресурса баз данных Kaggle возьмем базу данных сотрудников – «menu.csv», которую оставим без изменений.

Общее описание задачи:

1. Категория
2. Наименование
3. Размер порции
4. Калории
5. Калории из жира
6. Всего жира
7. Всего жира (% Дневное значение)
8. Насыщенные жиры
9. Насыщенные жиры (% Дневное значение)
10. Транс жиры
11. Холестерин
12. Холестерин (% Дневное значение)
13. Соль
14. Соль (%Дневное значение)
15. Углеводы
16. Углеводы (% Дневное значение)
17. Сахарозаменитель
18. Сахарозаменитель (% Дневное значение)
19. Сахар
20. Белок
21. Витамин А (% Дневное значение)
22. Витамин С (% Дневное значение)
23. Кальций (% Дневное значение)
24. Железо (%Дневное значение)

Столбцы 3-24 описательные шкалы.

Столбец 2 является классификационной шкалой. Этот столбец показывает категорию блюда.

Обучающая выборка:

Таблица 1 – menu.xls

Всего в базе 24 столбца, 1 классификационная и 23 описательных.

Поскольку ввод исходных данных в систему «Эйдос» планируется осуществить с помощью ее универсального программного интерфейса импорта данных из внешних баз данных, который работает с файлами MS Excel, то преобразуем данные из csv-файла в xls-файл, для удобства дальнейшего редактирования и выполним следующие операции.

Конвертируем исходный файл из csv формата в xls и запишем его с именем: Inp_data.xls в папку: c:\Aidos-X\AID_DATA\Inp_data\. В результате получим таблицу исходных данных, полностью подготовленную для обработки в системе «Эйдос» и записанную в нужную папку в виде файла нужного типа с нужным именем.

Автоматизированная формализация предметной области путем импорта исходных данных из внешних баз данных в систему "Эйдос".

Для загрузки базы исходных данных в систему «Эйдос» необходимо воспользоваться универсальным программным интерфейсом для ввода

данных из внешних баз данных табличного вида, т.е. режимом 2.3.2.2.

2.3.2.2. Универсальный программный интерфейс импорта данных в систему "ЭЙДОС-Х++"

Автоматическая формализация предметной области: генерация классификационных и описательных шкал и градаций, а также обучающей и распознаваемой выборки на основе базы исходных данных: "Inp_data"

Задайте тип файла исходных данных: "Inp_data":

XLS - MS Excel-2003 Стандарт XLS-файла
 XLSX- MS Excel-2007(2010) Стандарт DBF-файла
 DBF - DBASE IV (DBF/NTX) Стандарт CSV-файла
 CSV - Comma-Separated Values Требования к файлу исходных данных

Задайте параметры:

Нули и пробелы считать ОТСУТСТВИЕМ данных
 Нули и пробелы считать ЗНАЧЕНИЯМИ данных
 Создавать БД средних по классам "Inp_davr.dbf"?
Требования к файлу исходных данных

Задайте диапазон столбцов классификационных шкал:

Начальный столбец классификационных шкал: 2
Конечный столбец классификационных шкал: 2

Задайте диапазон столбцов описательных шкал:

Начальный столбец описательных шкал: 3
Конечный столбец описательных шкал: 24

Задайте режим:

Формализации предметной области (на основе "Inp_data")
 Генерации распознаваемой выборки (на основе "Inp_rasp")

Задайте способ выбора размера интервалов:

Равные интервалы с разным числом наблюдений
 Разные интервалы с равным числом наблюдений

Задание параметров формирования сценариев или способа интерпретации текстовых полей "Inp_data":

Не применять сценарный метод АСК-анализа
 Применить спец.интерпретацию текстовых полей классов

Применить сценарный метод АСК-анализа
 Применить спец.интерпретацию текстовых полей признаков

Параметры интерпретации значений текстовых полей "Inp_data":

Интерпретация TXT-полей классов:
Значения полей текстовых классификационных шкал файла исходных данных "Inp_data" рассматриваются как целое

Интерпретация TXT-полей признаков:
Значения полей текстовых описательных шкал файла исходных данных "Inp_data" рассматриваются как целое

Какие наименования ГРАДАЦИЙ числовых шкал использовать:

Только интервальные числовые значения
(например: "1/3-(59873.000000, 178545.666667)")

Рисунок 4. Экранная форма Универсального программного интерфейса импорта данных в систему "Эйдос" (режим 2.3.2.2.)

В экранной форме, приведенной на рисунке 5, задать настройки, показанные на рисунке:

- "Задайте тип файла исходных данных Inp_data": "XLS – MS Excel-2003";
- "Задайте диапазон столбцов классификационных шкал": "Начальный столбец классификационных шкал" – 2, "Конечный столбец классификационных шкал" – 2(последний столбец в таблице);
- "Задайте диапазон столбцов описательных шкал": "Начальный столбец описательных шкал" – 3, "Конечный столбец описательных шкал" – 24;
- "Задание параметров формирования сценариев или способа интерпретации текстовых полей": "Не применять сценарный метод АСК-анализа".

После нажать кнопку "OK". Далее открывается окно, где размещена информация о размерности модели (рисунок 2). В этом окне необходимо нажать кнопку "Выйти на создание модели".

2.3.2.2. Задание размерности модели системы "ЭЙДОС-Х++"

ЗАДАНИЕ В ДИАЛОГЕ РАЗМЕРНОСТИ МОДЕЛИ

Суммарное количество градаций классификационных и описательных шкал: [7 x 170]

| Тип шкалы | Количество классификационных шкал | Количество градаций классификационных | Среднее количество градаций на класс.шкалу | Количество описательных шкал | Количество градаций описательных шкал | Среднее количество градаций на опис.шкалу |
|-----------|-----------------------------------|---------------------------------------|--|------------------------------|---------------------------------------|---|
| Числовые | 0 | 0 | 0,00 | 21 | 63 | 3,00 |
| Текстовые | 1 | 7 | 7,00 | 1 | 107 | 107,00 |
| ВСЕГО: | 1 | 7 | 7,00 | 22 | 170 | 7,73 |

Задайте число интервалов (градаций) в шкале:

В описательных шкалах:

Рисунок 5. Задание размерности модели системы "Эйдос"

Далее открывается окно, отображающее стадию процесса импорта данных из внешней БД "Inp_data.xls" в систему "Эйдос" (рисунок 3), а также прогноз времени завершения этого процесса. В том окне необходимо дождаться завершения формализации предметной области и нажать кнопку "OK".

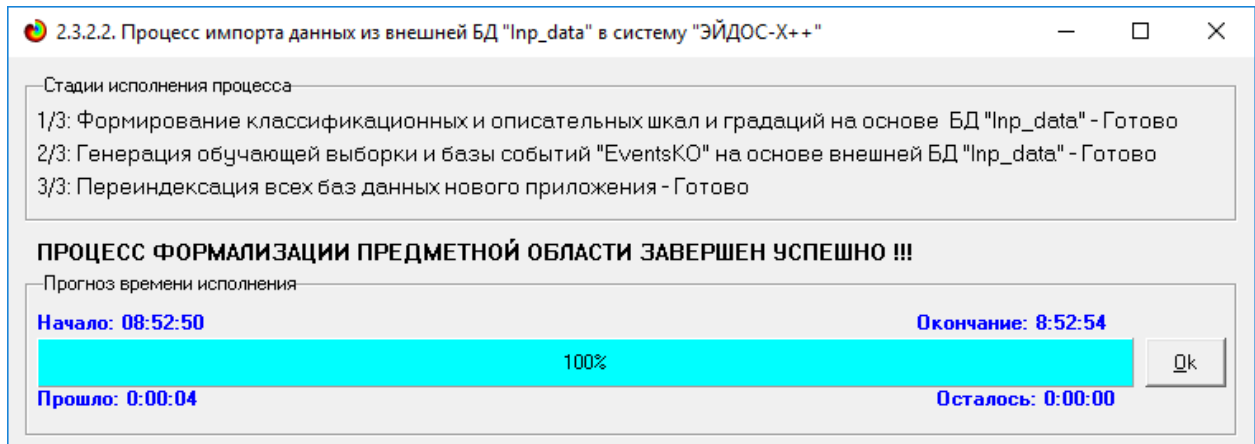


Рисунок 6. Процесс импорта данных из внешней БД "Inp_data.xls" в систему "Эйдос"

В результате формируются классификационные и описательные шкалы и градации, с применением которых исходные данные кодируются и представляются в форме эвентологических баз данных. Этим самым полностью автоматизировано выполняется 2-й этап АСК- анализа «Формализация предметной области». Для просмотра классификационных шкал и градаций необходимо запустить режим 2.1 (рисунок 7).

2.1. Классификационные шкалы и градации. Текущая модель: "INF1"

| Код шкалы | Наименование классификационной шкалы | Код градации | Наименование градации классификационной шкалы | DEL |
|-----------|--------------------------------------|--------------|---|-----|
| 1 | КАТЕГОРИЯ | 1 | 1/7-1_Кофе и чай | ... |
| | | 2 | 2/7-2_Завтрак | ... |
| | | 3 | 3/7-3_Напитки | ... |
| | | 4 | 4/7-4_Смузи и коктейли | ... |
| | | 5 | 5/7-5_Курица и рыба | ... |
| | | 6 | 6/7-6_Говядина и свинина | ... |
| | | 7 | 7/7-7_Десерты | ... |

Помощь Доб.шкалу Доб.град.шкалы Копир.шкалу Копир.град.шкалы Копир.шкалу с град. Удал.шкалу с град. Удал.град.шкалы Удаление и перекодирование

Рисунок 7. Классификационные шкалы и градации (фрагмент)

Для просмотра описательных шкал и градаций необходимо запустить режим 2.2 (рисунок 8):

2.2. Описательные шкалы и градации. Текущая модель: "INF1"

| Код шкалы | Наименование описательной шкалы | Код градации | Наименование градации описательной шкалы |
|-----------|--------------------------------------|--------------|--|
| 1 | РАЗМЕР ПОРЦИИ | 1 | 1/107-1 carton (236 ml) |
| 2 | КАЛОРИИ | 2 | 2/107-1 cookie (33 g) |
| 3 | КАЛОРИИ ИЗ ЖИРА | 3 | 3/107-1 oz (29 g) |
| 4 | ВСЕГО ЖИРА | 4 | 4/107-1.2 oz (34 g) |
| 5 | ВСЕГО ЖИРА (% ДНЕВНОЕ ЗНАЧЕНИЕ) | 5 | 5/107-1.3 oz (38 g) |
| 6 | НАСЫЩЕННЫЕ ЖИРЫ | 6 | 6/107-10 oz (283 g) |
| 7 | НАСЫЩЕННЫЕ ЖИРЫ (% ДНЕВНОЕ ЗНАЧЕНИЕ) | 7 | 7/107-10 oz (284 g) |
| 8 | ТРНAC ЖИРЫ | 8 | 8/107-10.1 oz (285 g) |
| 9 | ХОЛЕСТЕРИН | 9 | 9/107-10.1 oz (286 g) |
| 10 | ХОЛЕСТЕРИН (% ДНЕВНОЕ ЗНАЧЕНИЕ) | 10 | 10/107-10.3 oz (291 g) |
| 11 | СОЛЬ | 11 | 11/107-10.5 oz (297 g) |
| 12 | СОЛЬ (%ДНЕВНОЕ ЗНАЧЕНИЕ) | 12 | 12/107-10.7 oz (302 g) |
| 13 | УГЛЕВОДЫ | 13 | 13/107-10.7 oz (304 g) |
| 14 | УГЛЕВОДЫ (% ДНЕВНОЕ ЗНАЧЕНИЕ) | 14 | 14/107-10.9 oz (310 g) |
| 15 | САХАРОЗАМЕНİТЕЛЬ | 15 | 15/107-11.1 oz (314 g) |
| 16 | САХАРОЗАМЕНİТЕЛЬ(% ДНЕВНОЕ ЗНАЧЕНИЕ) | 16 | 16/107-11.1 oz (316 g) |
| 17 | САХАР | 17 | 17/107-11.2 oz (318 g) |
| 18 | БЕЛОК | 18 | 18/107-11.4 oz (323 g) |
| 19 | ВИТАМИН А (% ДНЕВНОЕ ЗНАЧЕНИЕ) | 19 | 19/107-11.8 oz (335 g) |
| 20 | ВИТАМИН С (% ДНЕВНОЕ ЗНАЧЕНИЕ) | 20 | 20/107-12 fl oz cup |
| 21 | КАЛЬЦИЙ (% ДНЕВНОЕ ЗНАЧЕНИЕ) | 21 | 21/107-12.3 oz (348 g) |
| 22 | ЖЕЛЕЗО (%ДНЕВНОЕ ЗНАЧЕНИЕ) | 22 | 22/107-13.4 oz (381 g) |

Помощь Доб.шкалу Доб.град.шкалы Копир.шкалу Копир.град.шкалы Копир.шкалу с град. Удал.шкалу с град. Удал.град.шкалы Перекодировать Очистить

Рисунок 8. Описательные шкалы и градации (фрагмент)

2.3.1. Ручной ввод-корректировка обучающей выборки. Текущая модель: "INF1"

| Код объекта | Наименование объекта | Дата | Время |
|-------------|----------------------|------|-------|
| 1 | Iced Tea (Small) | ... | |
| 2 | Iced Tea (Medium) | ... | |
| 3 | Iced Tea (Large) | ... | |
| 4 | Iced Tea (Child) | ... | |
| 5 | Sweet Tea (Small) | ... | |
| 6 | Sweet Tea (Medium) | ... | |
| 7 | Sweet Tea (Large) | ... | |
| 8 | Sweet Tea (Child) | ... | |
| 9 | Coffee (Small) | ... | |
| 10 | Coffee (Medium) | ... | |
| 11 | Coffee (Large) | ... | |
| 12 | Coffee (Child) | ... | |

| Код объекта | Класс 1 | Класс 2 | Класс 3 | Класс 4 | Код объекта | Признак 1 | Признак 2 | Признак 3 | Признак 4 | Признак 5 | Признак 6 | Признак 7 |
|-------------|---------|---------|---------|---------|-------------|-----------|-----------|-----------|-----------|-----------|-----------|-----------|
| 1 | 1 | 0 | 0 | 0 | 1 | 28 | 135 | 0 | 0 | 0 | 0 | 0 |
| 2 | | | | | | | | | | | | |
| 3 | | | | | | | | | | | | |
| 4 | | | | | | | | | | | | |
| 5 | | | | | | | | | | | | |
| 6 | | | | | | | | | | | | |
| 7 | | | | | | | | | | | | |
| 8 | | | | | | | | | | | | |
| 9 | | | | | | | | | | | | |
| 10 | | | | | | | | | | | | |
| 11 | | | | | | | | | | | | |
| 12 | | | | | | | | | | | | |

Рисунок 9. Обучающая выборка (фрагмент)

Тем самым создаются все необходимые и достаточные предпосылки для выявления силы и направления причинно-следственных связей между значениями факторов и результатами их совместного системного воздействия (с учетом нелинейности системы [11]).

1.3. Синтез и верификация статистических и интеллектуальных моделей

Далее запускаем режим 3.5, в котором задаются модели для синтеза и верификации, а также задается модель, которой по окончании режима присваивается статус текущей (рисунок 10).

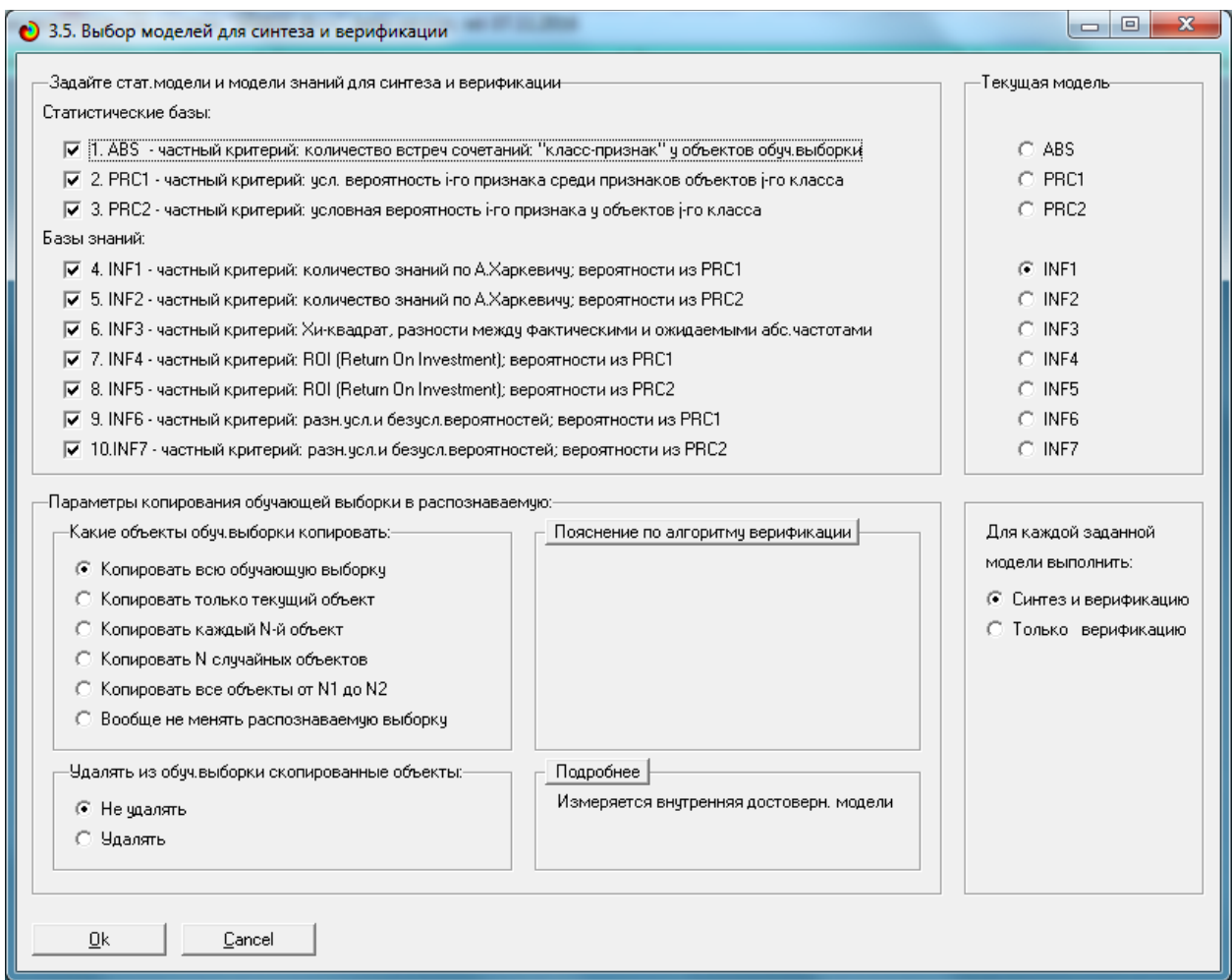


Рисунок 10. Выбор моделей для синтеза и верификации, а также текущей модели

В данном режиме имеется много различных методов верификации моделей, в том числе и поддерживающие бутстрепный метод. Но мы используем параметры по умолчанию, приведенные на рисунке 10. Стадия процесса исполнения режима 3.5 и прогноз времени его окончания отображаются на экранной форме, приведенной на рисунке 11.

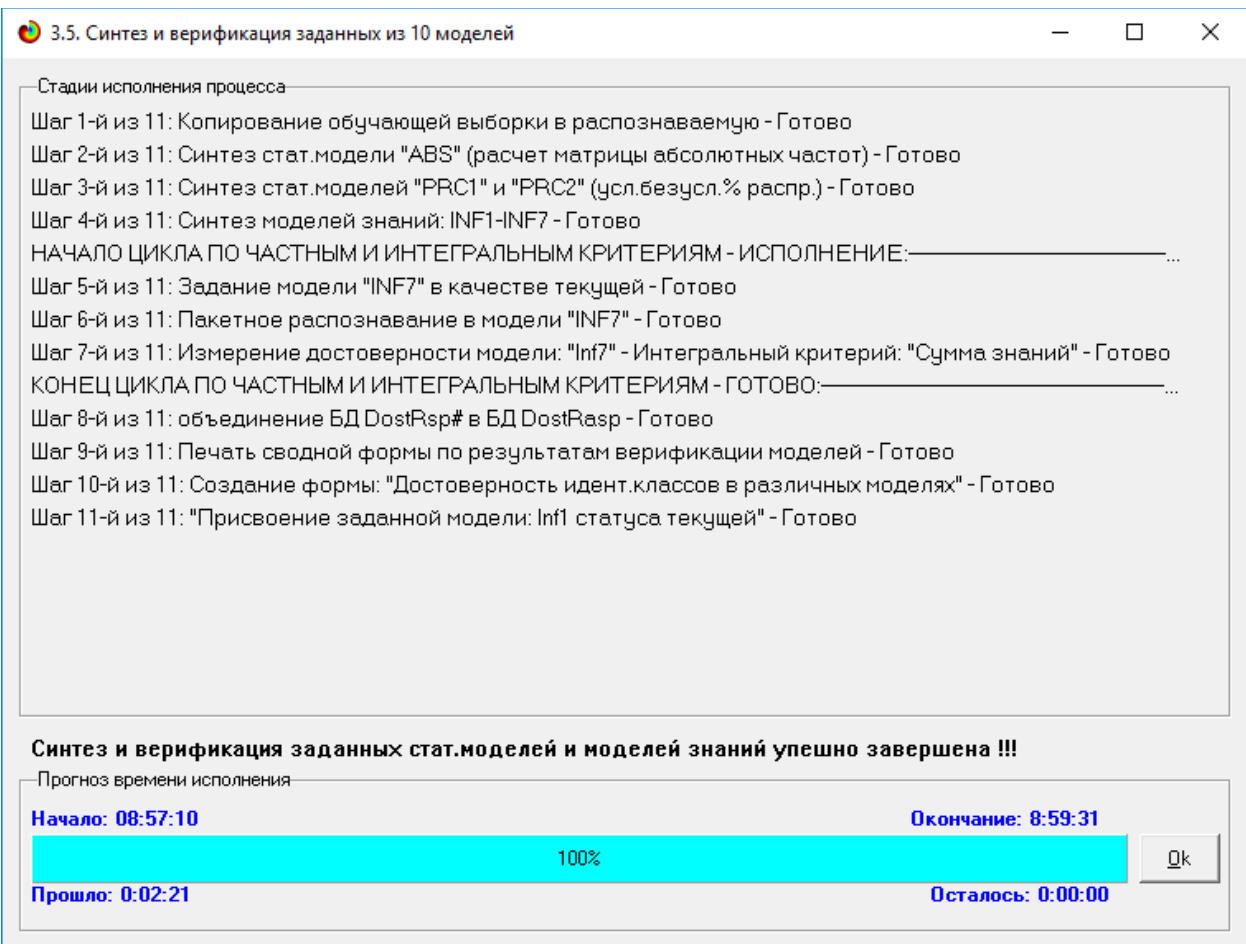


Рисунок 11. Синтез и верификация статистических моделей и моделей знаний

Интересно заметить (см. рисунок 8), что синтез и верификация всех 10 моделей на данной задаче заняли 141 секунд1. При этом верификация (оценка достоверности моделей) проводилась на всех 260 примерах наблюдения из обучающей выборки. В результате выполнения режима 3.5 созданы все модели, со всеми частными критериями, перечисленные на рисунке 10, но ниже мы приведем лишь некоторые из них (таблицы 2, 3, 4).

1.4. Виды моделей системы «Эйдос»

Рассмотрим решение задачи идентификации на примере модели INF1, в которой рассчитано количество информации по А.Харкевичу, которое мы получаем о принадлежности идентифицируемого объекта к каждому из классов, если знаем, что у этого объекта есть некоторый признак.

По сути, частные критерии представляют собой просто формулы для преобразования матрицы абсолютных частот (таблица 2) в матрицы условных и безусловных процентных распределений, и матрицы знаний (таблицы 3 и 4) (проф. В.И.Лойко).

Таблица 2 – Матрица абсолютных частот (модель ABS) и условных и безусловных процентных распределений (фрагменты)

| Код признака | Наименование описательной шкалы и градации | | | | | | | | Сумма | Среднее | Средн. квадр. откл. |
|--------------|--|---------------------------------|------------------------------|------------------------------|--------------------------------------|------------------------------------|--|------------------------------|-------|---------|---------------------|
| | | 1 КАТЕГОРИЯ 1/7 1_КОФЕ И ЧАЙ | 2 КАТЕГОРИЯ 2/7 2_ЗАВТРАК | 3 КАТЕГОРИЯ 3/7 3_НАПИТКИ | 4 КАТЕГОРИЯ 4/7 4_СМУЗИ И КОЙТЕЛИ | 5 КАТЕГОРИЯ 5/7 5_КУРИЦА И РЫБА | 6 КАТЕГОРИЯ 6/7 6_ГОВЯДИ... И СВИНИНА | 7 КАТЕГОРИЯ 7/7 7_ДЕСЕРТЫ | | | |
| 1 | РАЗМЕР ПОРЦИИ-1/107-1 carton (236 ml) | ... | | 2 | | | | | 2 | 0.286 | 0.756 |
| 2 | РАЗМЕР ПОРЦИИ-2/107-1 cookie (33 g) | ... | | | | | | | 2 | 0.286 | 0.756 |
| 3 | РАЗМЕР ПОРЦИИ-3/107-1 oz (29 g) | ... | | | | | | 1 | 1 | 0.143 | 0.378 |
| 4 | РАЗМЕР ПОРЦИИ-4/107-1.2 oz (34 g) | ... | | | | 1 | | | 1 | 0.143 | 0.378 |
| 5 | РАЗМЕР ПОРЦИИ-5/107-1.3 oz (38 g) | ... | | | | 1 | | | 1 | 0.143 | 0.378 |
| 6 | РАЗМЕР ПОРЦИИ-6/107-10 oz (283 g) | ... | 1 | | | | 1 | | 2 | 0.286 | 0.488 |
| 7 | РАЗМЕР ПОРЦИИ-7/107-10 oz (284 g) | ... | | | | 1 | | | 1 | 0.143 | 0.378 |
| 8 | РАЗМЕР ПОРЦИИ-8/107-10.1 oz (285 g) | ... | | | 1 | | | | 1 | 0.143 | 0.378 |
| 9 | РАЗМЕР ПОРЦИИ-9/107-10.1 oz (286 g) | ... | 1 | | | | | | 1 | 0.143 | 0.378 |
| 10 | РАЗМЕР ПОРЦИИ-10/107-10.3 oz (291 g) | ... | | | | 1 | | | 1 | 0.143 | 0.378 |
| 11 | РАЗМЕР ПОРЦИИ-11/107-10.5 oz (297 g) | ... | | | | 1 | | | 1 | 0.143 | 0.378 |
| 12 | РАЗМЕР ПОРЦИИ-12/107-10.7 oz (302 g) | ... | | | | 1 | | | 1 | 0.143 | 0.378 |
| 13 | РАЗМЕР ПОРЦИИ-13/107-10.7 oz (304 g) | ... | | | | 1 | | | 1 | 0.143 | 0.378 |
| 14 | РАЗМЕР ПОРЦИИ-14/107-10.9 oz (310 g) | ... | | | 1 | 1 | | | 2 | 0.286 | 0.488 |
| 15 | РАЗМЕР ПОРЦИИ-15/107-11.1 oz (314 g) | ... | | | | 1 | | | 1 | 0.143 | 0.378 |
| 16 | РАЗМЕР ПОРЦИИ-16/107-11.1 oz (316 g) | ... | | | | 1 | | | 1 | 0.143 | 0.378 |
| 17 | РАЗМЕР ПОРЦИИ-17/107-11.2 oz (318 g) | ... | | | | 1 | | | 1 | 0.143 | 0.378 |
| 18 | РАЗМЕР ПОРЦИИ-18/107-11.4 oz (323 g) | ... | | | | 1 | | | 1 | 0.143 | 0.378 |
| 19 | РАЗМЕР ПОРЦИИ-19/107-11.8 oz (335 g) | ... | | | | 1 | | | 1 | 0.143 | 0.378 |
| 20 | РАЗМЕР ПОРЦИИ-20/107-12 oz сир | ... | 26 | | 6 | 6 | | | 38 | 5.429 | 9.502 |
| 21 | РАЗМЕР ПОРЦИИ-21/107-12.3 oz (348 g) | ... | | | | 1 | | | 1 | 0.143 | 0.378 |

Таблица 3 – Матрица информативностей (модель INF1) в битах (фрагмент)

| Код признака | Наименование описательной шкалы и градации | | | | | | | | Сумма | Среднее | Средн. квадр. откл. |
|--------------|--|----------------------------------|-------------------------------|-------------------------------|---------------------------------------|-------------------------------------|---|-------------------------------|-------|---------|---------------------|
| | | 1. КАТЕГОРИЯ 1/7 1_КОФЕ И ЧАЙ | 2. КАТЕГОРИЯ 2/7 2_ЗАВТРАК | 3. КАТЕГОРИЯ 3/7 3_НАПИТКИ | 4. КАТЕГОРИЯ 4/7 4_СМУЗИ И КОЙТЕЛИ | 5. КАТЕГОРИЯ 5/7 5_КУРИЦА И РЫБА | 6. КАТЕГОРИЯ 6/7 6_ГОВЯДИ... И СВИНИНА | 7. КАТЕГОРИЯ 7/7 7_ДЕСЕРТЫ | | | |
| 1 | РАЗМЕР ПОРЦИИ-1/107-1 carton (236 ml) | ... | | 1.090 | | | | | 1.090 | 0.156 | 0.412 |
| 2 | РАЗМЕР ПОРЦИИ-2/107-1 cookie (33 g) | ... | | | | | | | 1.182 | 0.182 | 0.169 |
| 3 | РАЗМЕР ПОРЦИИ-3/107-1 oz (29 g) | ... | | | | | | | 1.182 | 0.182 | 0.169 |
| 4 | РАЗМЕР ПОРЦИИ-4/107-1.2 oz (34 g) | ... | | | 0.534 | | | | 0.534 | 0.076 | 0.202 |
| 5 | РАЗМЕР ПОРЦИИ-5/107-1.3 oz (38 g) | ... | | | 0.534 | | | | 0.534 | 0.076 | 0.202 |
| 6 | РАЗМЕР ПОРЦИИ-6/107-10 oz (283 g) | ... | 0.325 | | | | 0.645 | | 0.971 | 0.139 | 0.254 |
| 7 | РАЗМЕР ПОРЦИИ-7/107-10 oz (284 g) | ... | | | 0.534 | | | | 0.534 | 0.076 | 0.202 |
| 8 | РАЗМЕР ПОРЦИИ-8/107-10.1 oz (285 g) | ... | | | 0.708 | | | | 0.708 | 0.101 | 0.268 |
| 9 | РАЗМЕР ПОРЦИИ-9/107-10.1 oz (286 g) | ... | 0.556 | | | | | | 0.556 | 0.079 | 0.210 |
| 10 | РАЗМЕР ПОРЦИИ-10/107-10.3 oz (291 g) | ... | | | | 0.534 | | | 0.534 | 0.076 | 0.202 |
| 11 | РАЗМЕР ПОРЦИИ-11/107-10.5 oz (297 g) | ... | | | | 0.534 | | | 0.534 | 0.076 | 0.202 |
| 12 | РАЗМЕР ПОРЦИИ-12/107-10.7 oz (302 g) | ... | | | | 0.534 | | | 0.534 | 0.076 | 0.202 |
| 13 | РАЗМЕР ПОРЦИИ-13/107-10.7 oz (304 g) | ... | | | | 0.534 | | | 0.534 | 0.076 | 0.202 |
| 14 | РАЗМЕР ПОРЦИИ-14/107-10.9 oz (310 g) | ... | | | 0.477 | 0.303 | | | 0.780 | 0.111 | 0.197 |
| 15 | РАЗМЕР ПОРЦИИ-15/107-11.1 oz (314 g) | ... | | | | 0.534 | | | 0.534 | 0.076 | 0.202 |
| 16 | РАЗМЕР ПОРЦИИ-16/107-11.1 oz (316 g) | ... | | | | 0.534 | | | 0.534 | 0.076 | 0.202 |
| 17 | РАЗМЕР ПОРЦИИ-17/107-11.2 oz (318 g) | ... | | | | 0.534 | | | 0.534 | 0.076 | 0.202 |
| 18 | РАЗМЕР ПОРЦИИ-18/107-11.4 oz (323 g) | ... | | | | 0.534 | | | 0.534 | 0.076 | 0.202 |
| 19 | РАЗМЕР ПОРЦИИ-19/107-11.8 oz (335 g) | ... | | | | 0.534 | | | 0.534 | 0.076 | 0.202 |
| 20 | РАЗМЕР ПОРЦИИ-20/107-12 oz сир | ... | 0.222 | | 0.474 | 0.093 | | | 0.790 | 0.113 | 0.180 |
| 21 | РАЗМЕР ПОРЦИИ-21/107-12.3 oz (348 g) | ... | | | | 0.534 | | | 0.534 | 0.076 | 0.202 |

Таблица 4 – Матрица знаний (модель INF3) (фрагмент)

5.5. Модель: "6. INF3 - частный критерий: Хи-квадрат, разности между фактическими и ожидаемыми abs.частотами"

| Код признака | Наименование описательной шкалы и градации | 1. КАТЕГОРИЯ 1/7 | 2. КАТЕГОРИЯ 2/7 | 3. КАТЕГОРИЯ 3/7 | 4. КАТЕГОРИЯ 4/7 | 5. КАТЕГОРИЯ 5/7 | 6. КАТЕГОРИЯ 6/7 | 7. КАТЕГОРИЯ 7/7 | Сумма | Среднее | Средн. квадр. откл. |
|--------------|--|------------------|------------------|------------------|------------------|------------------|------------------|------------------|-------|---------|---------------------|
| 1 | РАЗМЕР ПОРШИ-1/107-1 carton (236 ml) ... | -0.703 | -0.377 | 1.924 | -0.239 | -0.403 | -0.144 | -0.058 | | 0.874 | |
| 2 | РАЗМЕР ПОРШИ-2/107-1 cookie (33 g) ... | -0.703 | -0.377 | -0.076 | -0.239 | -0.403 | -0.144 | 1.942 | | 0.881 | |
| 3 | РАЗМЕР ПОРШИ-3/107-1 oz (29 g) ... | -0.351 | -0.188 | -0.038 | -0.119 | -0.202 | -0.072 | 0.371 | | 0.440 | |
| 4 | РАЗМЕР ПОРШИ-4/107-1.2 oz (34 g) ... | -0.351 | -0.188 | -0.038 | -0.119 | 0.798 | -0.072 | -0.029 | | 0.369 | |
| 5 | РАЗМЕР ПОРШИ-5/107-1.3 oz (38 g) ... | -0.351 | -0.188 | -0.038 | -0.119 | 0.798 | -0.072 | -0.029 | | 0.369 | |
| 6 | РАЗМЕР ПОРШИ-6/107-10 oz (263 g) ... | -0.703 | 0.623 | -0.076 | -0.239 | -0.403 | 0.856 | -0.058 | | 0.554 | |
| 7 | РАЗМЕР ПОРШИ-7/107-10 oz (264 g) ... | -0.351 | -0.188 | -0.038 | -0.119 | 0.798 | -0.072 | -0.029 | | 0.369 | |
| 8 | РАЗМЕР ПОРШИ-8/107-10.1 oz (285 g) ... | -0.351 | -0.188 | -0.038 | 0.881 | -0.202 | -0.072 | -0.029 | | 0.405 | |
| 9 | РАЗМЕР ПОРШИ-9/107-10.1 oz (286 g) ... | -0.351 | 0.812 | -0.038 | -0.119 | -0.202 | -0.072 | -0.029 | | 0.375 | |
| 10 | РАЗМЕР ПОРШИ-10/107-10.3 oz (291 g) ... | -0.351 | -0.188 | -0.038 | -0.119 | 0.798 | -0.072 | -0.029 | | 0.369 | |
| 11 | РАЗМЕР ПОРШИ-11/107-10.5 oz (297 g) ... | -0.351 | -0.188 | -0.038 | -0.119 | 0.798 | -0.072 | -0.029 | | 0.369 | |
| 12 | РАЗМЕР ПОРШИ-12/107-10.7 oz (302 g) ... | -0.351 | -0.188 | -0.038 | -0.119 | 0.798 | -0.072 | -0.029 | | 0.369 | |
| 13 | РАЗМЕР ПОРШИ-13/107-10.7 oz (304 g) ... | -0.351 | -0.188 | -0.038 | -0.119 | 0.798 | -0.072 | -0.029 | | 0.369 | |
| 14 | РАЗМЕР ПОРШИ-14/107-10.9 oz (310 g) ... | -0.703 | -0.377 | -0.076 | 0.761 | 0.597 | -0.144 | -0.058 | | 0.517 | |
| 15 | РАЗМЕР ПОРШИ-15/107-11.1 oz (314 g) ... | -0.351 | -0.188 | -0.038 | -0.119 | 0.798 | -0.072 | -0.029 | | 0.369 | |
| 16 | РАЗМЕР ПОРШИ-16/107-11.1 oz (316 g) ... | -0.351 | -0.188 | -0.038 | -0.119 | 0.798 | -0.072 | -0.029 | | 0.369 | |
| 17 | РАЗМЕР ПОРШИ-17/107-11.2 oz (318 g) ... | -0.351 | -0.188 | -0.038 | -0.119 | 0.798 | -0.072 | -0.029 | | 0.369 | |
| 18 | РАЗМЕР ПОРШИ-18/107-11.4 oz (323 g) ... | -0.351 | -0.188 | -0.038 | -0.119 | 0.798 | -0.072 | -0.029 | | 0.369 | |
| 19 | РАЗМЕР ПОРШИ-19/107-11.8 oz (335 g) ... | -0.351 | -0.188 | -0.038 | -0.119 | 0.798 | -0.072 | -0.029 | | 0.369 | |
| 20 | РАЗМЕР ПОРШИ-20/107-12.0 oz сир ... | 12.645 | -7.162 | 4.554 | 1.462 | -7.664 | -2.741 | -1.095 | | 7.089 | |
| 21 | РАЗМЕР ПОРШИ-21/107-12.3 oz (348 g) ... | -0.351 | -0.188 | -0.038 | -0.119 | 0.798 | -0.072 | -0.029 | | 0.369 | |

1.5. Результаты верификации моделей

Результаты верификации (оценки достоверности) моделей, отличающихся частными критериями с двумя приведенными выше интегральными критериями приведены на рисунке 9.

4.1.3.6. Обобщенная форма по достоверности моделей при разн.инт.крит. Текущая модель: "INF1"

| Наименование модели и частного критерия | Интегральный критерий | Средний модуль звонковой схемы, звонко-поговорки решений | Средний модуль звонковой схемы, звонко-поговорки решений | А-Точность модели АPrecision = ATP/ATP | А-Полнота модели АCompleteness = ATP/ATP | L2-мера проф Е.В.Пуленко | Процент правильной идентификации | Процент правильной идентификации не идентиф. | Процент ошибочной идентификации | Процент правильных результатов | Дата получения результата | Время получения результата |
|---|---------------------------------|--|--|--|--|--------------------------|----------------------------------|--|---------------------------------|--------------------------------|---------------------------|----------------------------|
| 1. ABS - частный критерий: количество встреч соединений: "Клас..." | Корреляция abs.частот с общ... | 0.314 | 0.047 | 0.682 | 0.999 | 0.810 | 99.615 | 8.261 | 91.739 | 0.385 | 53.938 | 20.05.2017 08:57:49 |
| 1. ABS - частный критерий: количество встреч соединений: "Клас..." | Сумма abs.частот по признак... | 0.173 | | 0.735 | 1.000 | 0.847 | 100.000 | 1.314 | 98.686 | | 50.657 | 20.05.2017 08:57:49 |
| 2. PRC1 - частный критерий: усл.вероятность иго признака сред... | Корреляция усл.отн.частот с ... | 0.314 | 0.047 | 0.682 | 0.999 | 0.810 | 99.615 | 8.261 | 91.739 | 0.385 | 53.938 | 20.05.2017 08:58:00 |
| 2. PRC1 - частный критерий: усл.вероятность иго признака сред... | Сумма усл.отн.частот при ... | 0.352 | | 0.628 | 1.000 | 0.771 | 100.000 | 1.314 | 98.686 | | 50.657 | 20.05.2017 08:58:00 |
| 3. PRC2 - частный критерий: усл.вероятность иго признака ... | Корреляция усл.отн.частот с ... | 0.314 | 0.047 | 0.682 | 0.999 | 0.810 | 99.615 | 8.261 | 91.739 | 0.385 | 53.938 | 20.05.2017 08:58:11 |
| 3. PRC2 - частный критерий: усл.вероятность иго признака ... | Сумма усл.отн.частот по при... | 0.284 | | 0.633 | 1.000 | 0.775 | 100.000 | 1.314 | 98.686 | | 50.657 | 20.05.2017 08:58:11 |
| 4. INF1 - частный критерий: количество знаний по АХарлесову; в... | Семантический резонанс зна... | 0.184 | 0.328 | 0.654 | 0.673 | 0.663 | 79.615 | 76.371 | 23.629 | 20.385 | 77.993 | 20.05.2017 08:58:22 |
| 4. INF1 - частный критерий: количество знаний по АХарлесову; в... | Сумма знаний | 0.178 | 0.259 | 0.642 | 0.645 | 0.644 | 91.538 | 67.086 | 32.914 | 8.462 | 79.312 | 20.05.2017 08:58:22 |
| 5. INF2 - частный критерий: количество знаний по АХарлесову; в... | Семантический резонанс зна... | 0.188 | 0.327 | 0.612 | 0.625 | 0.618 | 82.692 | 77.762 | 22.238 | 17.308 | 80.227 | 20.05.2017 08:58:33 |
| 5. INF2 - частный критерий: количество знаний по АХарлесову; в... | Сумма знаний | 0.196 | 0.253 | 0.617 | 0.648 | 0.632 | 91.923 | 68.067 | 31.933 | 8.077 | 79.995 | 20.05.2017 08:58:34 |
| 6. INF3 - частный критерий: Хи-квадрат, разности между фактами... | Семантический резонанс зна... | 0.358 | 0.332 | 0.609 | 0.787 | 0.687 | 95.385 | 65.090 | 34.910 | 4.615 | 80.237 | 20.05.2017 08:58:45 |
| 6. INF3 - частный критерий: Хи-квадрат, разности между фактами... | Сумма знаний | 0.174 | 0.196 | 0.705 | 0.789 | 0.744 | 95.385 | 65.090 | 34.910 | 4.615 | 80.237 | 20.05.2017 08:58:45 |
| 7. INF4 - частный критерий: ROI (Return On Investment); вероятно... | Семантический резонанс зна... | 0.184 | 0.241 | 0.695 | 0.726 | 0.710 | 68.077 | 79.824 | 20.176 | 31.923 | 73.950 | 20.05.2017 08:58:56 |
| 7. INF4 - частный критерий: ROI (Return On Investment); вероятно... | Сумма знаний | 0.126 | 0.057 | 0.668 | 0.963 | 0.789 | 98.846 | 54.125 | 45.875 | 1.154 | 76.485 | 20.05.2017 08:58:56 |
| 8. INF5 - частный критерий: ROI (Return On Investment); вероятно... | Семантический резонанс зна... | 0.208 | 0.248 | 0.655 | 0.723 | 0.607 | 70.000 | 82.085 | 17.915 | 30.000 | 76.043 | 20.05.2017 08:59:07 |
| 8. INF5 - частный критерий: ROI (Return On Investment); вероятно... | Сумма знаний | 0.122 | 0.048 | 0.656 | 0.927 | 0.768 | 98.846 | 55.176 | 44.824 | 1.154 | 77.011 | 20.05.2017 08:59:07 |
| 9. INF5 - частный критерий: разн.узл. и безузл.вероятностей; вер... | Семантический резонанс зна... | 0.330 | 0.217 | 0.615 | 0.744 | 0.673 | 95.000 | 61.781 | 38.219 | 5.000 | 78.390 | 20.05.2017 08:59:18 |
| 9. INF5 - частный критерий: разн.узл. и безузл.вероятностей; вер... | Сумма знаний | 0.278 | 0.130 | 0.587 | 0.786 | 0.672 | 95.385 | 55.336 | 44.664 | 4.615 | 75.360 | 20.05.2017 08:59:18 |
| 10 INF7 - частный критерий: разн.узл. и безузл.вероятностей; ве... | Семантический резонанс зна... | 0.329 | 0.201 | 0.609 | 0.691 | 0.615 | 94.615 | 63.221 | 36.779 | 5.385 | 78.918 | 20.05.2017 08:59:29 |
| 10 INF7 - частный критерий: разн.узл. и безузл.вероятностей; ве... | Сумма знаний | 0.216 | 0.091 | 0.582 | 0.852 | 0.692 | 95.385 | 56.588 | 43.412 | 4.615 | 75.986 | 20.05.2017 08:59:29 |

Рисунок 12. Оценки достоверности моделей

Наиболее достоверной в данном приложении оказались модели ABS, INF5 при интегральном критерии «Семантический резонанс знаний». При этом точность модели составляет 0,687. Таким образом, уровень достоверности прогнозирования с применением модели выше, чем экспертов оценок, достоверность которых считается равной примерно 69%.

Для оценки достоверности моделей в АСК-анализе и системе «Эйдос» используется метрика, сходная с F-критерием (рисунок 13).

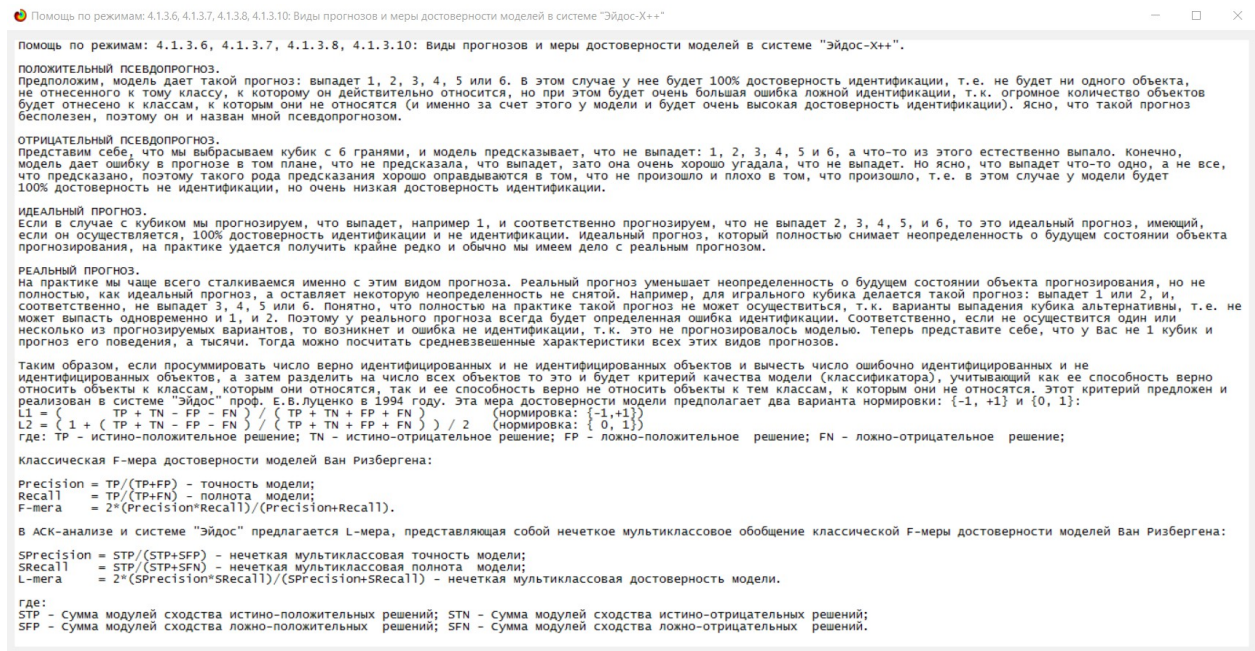


Рисунок 13. Виды прогнозов и принцип определения достоверности моделей по авторскому варианту метрики, сходной с F-критерием

Также обращает на себя внимание, что статистические модели, как правило, дают более низкую средневзвешенную достоверность идентификации и не идентификации, чем модели знаний, и практически никогда – более высокую. Этим и оправдано применение моделей знаний и интеллектуальных технологий. На рисунке 11 приведены частные распределения уровней сходства и различия для верно и ошибочно идентифицированных и неидентифицированных ситуаций в наиболее достоверной модели INF5.

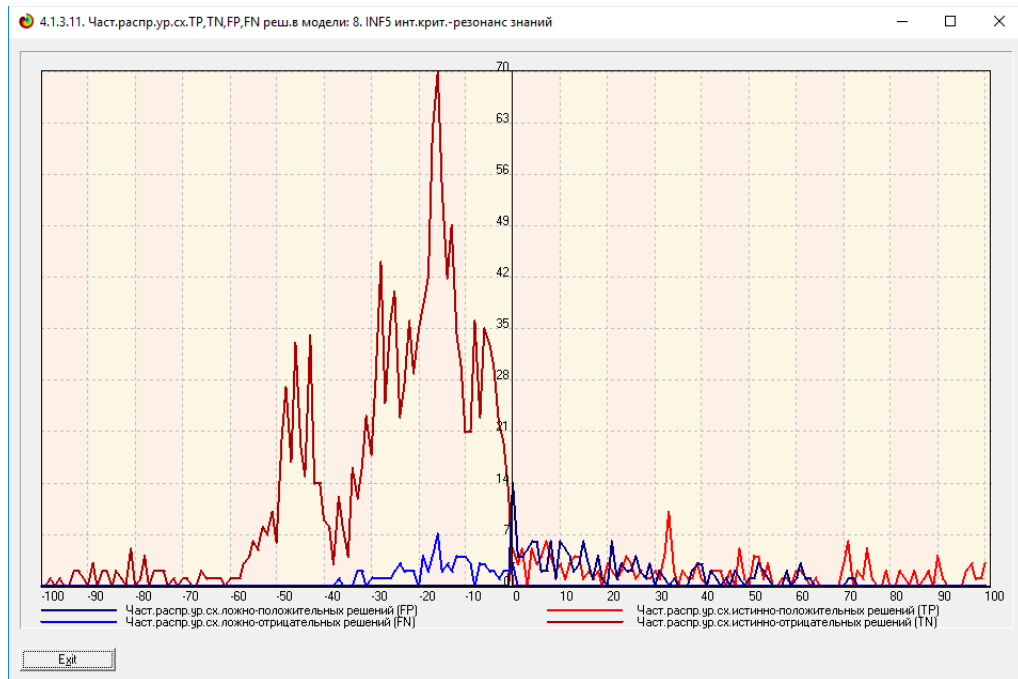


Рисунок 14. Частное распределение сходства-различия верно и ошибочно идентифицированных и неидентифицированных состояний объекта моделирования в модели INF5

Из рисунка 11 видно, что:

- наиболее достоверная модель INF5 лучше определяет непринадлежность объекта к классу, чем принадлежность (что видно также из рисунка 9);
- модуль уровня сходства-различия в наиболее достоверной модели INF5 для верно идентифицированных и верно неидентифицированных объектов значительно выше, чем для ошибочно идентифицированных и ошибочно неидентифицированных. Это верно практически для всего диапазона уровней сходства-различия, кроме небольших по модулю значений в диапазоне от 0 до 15% уровня сходства. Для уровня сходства выше 70% все положительные решения являются истинными. Для очень больших значений уровней сходства-различия (более 70%) также различие между верно и ошибочно идентифицированными и неидентифицированными ситуациями практически отсутствует.

Любые данные о наблюдениях можно считать суммой истинного значения и шума, причем ни первое, ни второе неизвестны. Поэтому имеет смысл сравнить созданные модели с чисто случайными моделями, совпадающими по основным характеристикам. В системе «Эйдос» есть лабораторная работа № 2.01: «Исследование RND-модели при различных объемах выборки». Если данная работа устанавливается при отсутствии текущего приложения, то все параметры создаваемых моделей задаются вручную, если же текущая модель существует, как в нашем случае, то все основные ее параметры определяются автоматически.

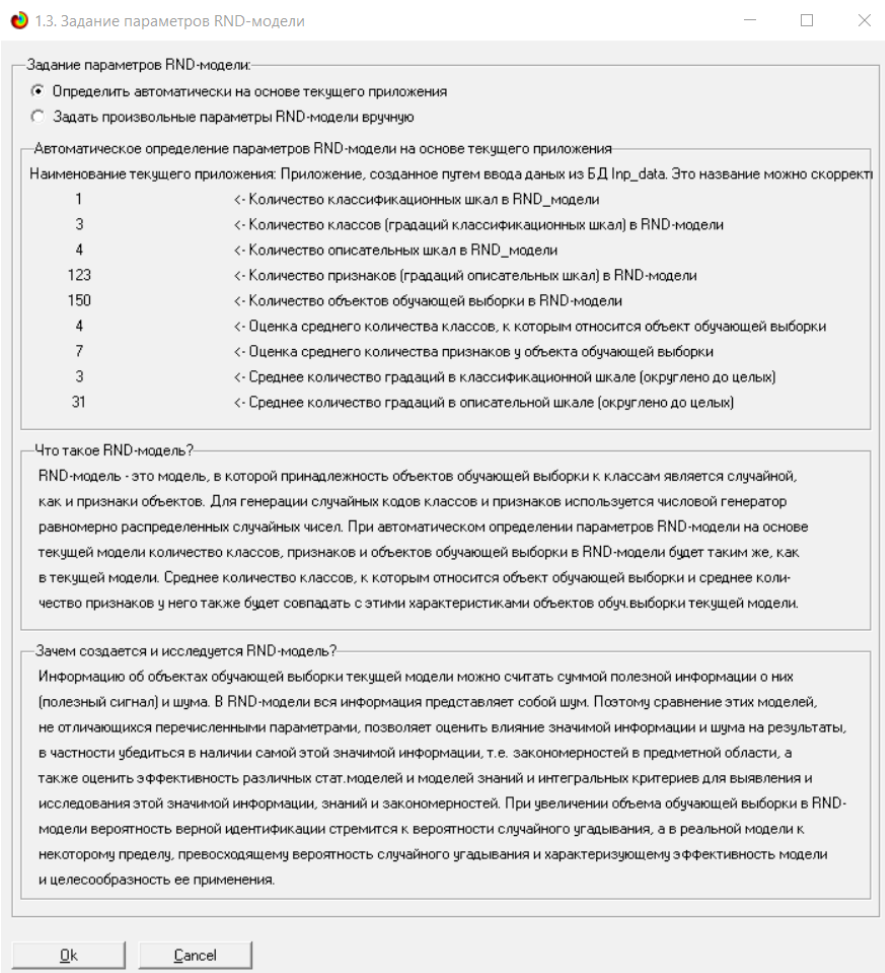


Рисунок 15. Экранная форма управления созданием случайных моделей, совпадающих с текущей по размерностям основных баз данных

На рисунке 13 показано частное распределение сходства-различия верно и ошибочно идентифицированных и неидентифицированных состояний в случайной модели INF5.

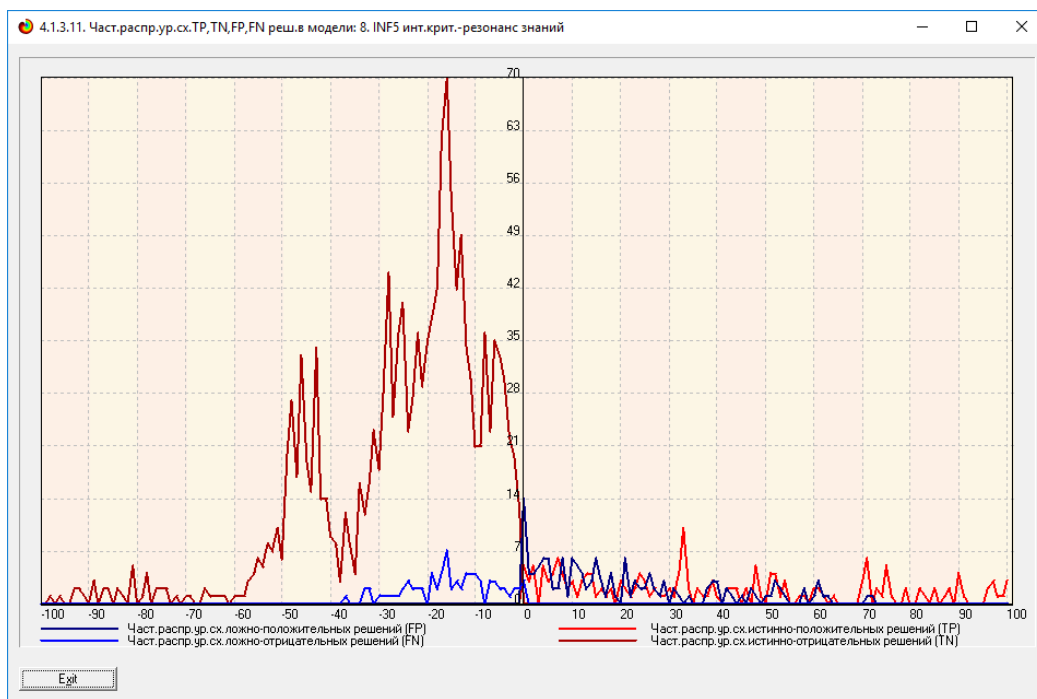


Рисунок 16. Частное распределение сходства-различия верно и ошибочно идентифицированных и неидентифицированных состояний в случайной модели INF5

Совершенно очевидное различие частотных распределений уровней сходства-различия верно и ошибочно идентифицированных и неидентифицированных состояний объекта моделирования и случайной модели (рисунки 11 и 13) объясняется тем, что в реальных моделях кроме шума есть также и информация об истинных причинно-следственных взаимосвязях факторов и их значений с одной стороны, и состояниями объекта моделирования, которые ими обуславливаются, с другой стороны. Если же такой информации в модели нет, то и распределение получается типа, приведенного на рисунке 13.

На рисунке 14 приведены данные по достоверности статистических и когнитивных моделей, созданных на основе случайной выборки.

| 4.1.3.6. Обобщ форма по достовернм моделям при разн. крит. - Текущая модель: "INF1" | | | | | | | | | | | | | | | | |
|---|---|---|--------------------------------------|-------------------|-----------------|---------------------------|----------------------------------|--|---------------------------------|---|---------------------------|----------------------------|----------|--|--|--|
| Наименование модели и частного критерия | Интегральный критерий | Средний модуль средней скорости изменения показателей | Средний модуль изменения показателей | А-Точность модели | АПонятие модели | Л2-мера проф. Е.В.Луценко | Процент правильной классификации | Процент правильной классификации, неидентиф. | Процент ошибочной классификации | Процент правильных результатов, не идентиф. | Дата получения результата | Время получения результата | | | | |
| 1. INF5 - частный критерий: количество встреч сомнений "человек". | Корреляция abs. частот с общ. суммой | 0.314 | 0.047 | 0.682 | 0.399 | 0.810 | 99.615 | 8.261 | 91.739 | 0.385 | 53.938 | 20.05.2017 | 08:57:49 | | | |
| 1. INF5 - частный критерий: количество встреч сомнений "человек". | Сумма abs. частот по признакам | 0.173 | 0.047 | 0.735 | 1.000 | 0.847 | 100.000 | 1.314 | 98.686 | 0.385 | 50.657 | 20.05.2017 | 08:57:49 | | | |
| 2. INF1 - частный критерий: усл. вероятность иго признака сред. | Корреляция усл.отн частот с общ. суммой | 0.314 | 0.047 | 0.682 | 0.399 | 0.810 | 99.615 | 8.261 | 91.739 | 0.385 | 53.938 | 20.05.2017 | 08:58:00 | | | |
| 2. INF1 - частный критерий: усл. вероятность иго признака сред. | Сумма усл.отн частот по признакам | 0.352 | | 0.628 | 1.000 | 0.773 | 100.000 | 1.314 | 98.686 | 0.385 | 50.657 | 20.05.2017 | 08:58:00 | | | |
| 3. INF2 - частный критерий: условная вероятность иго признака. | Корреляция усл.отн частот с общ. суммой | 0.314 | 0.047 | 0.682 | 0.399 | 0.810 | 99.615 | 8.261 | 91.739 | 0.385 | 53.938 | 20.05.2017 | 08:58:11 | | | |
| 3. INF2 - частный критерий: условная вероятность иго признака. | Сумма усл.отн частот по признакам | 0.284 | | 0.633 | 1.000 | 0.775 | 100.000 | 1.314 | 98.686 | 0.385 | 50.657 | 20.05.2017 | 08:58:11 | | | |
| 4. INF1 - частный критерий: количество знаний А.Харкевич, в. | Семантический резонанс зна. | 0.184 | 0.328 | 0.654 | 0.573 | 0.663 | 79.615 | 76.371 | 23.629 | 20.385 | 77.993 | 20.05.2017 | 08:58:22 | | | |
| 4. INF1 - частный критерий: количество знаний А.Харкевич, в. | Сумма знаний | 0.178 | 0.259 | 0.642 | 0.645 | 0.644 | 91.538 | 67.086 | 32.914 | 8.462 | 79.312 | 20.05.2017 | 08:58:22 | | | |
| 5. INF2 - частный критерий: количество знаний А.Харкевич, в. | Семантический резонанс зна. | 0.188 | 0.327 | 0.612 | 0.625 | 0.618 | 82.692 | 77.762 | 22.238 | 17.308 | 80.227 | 20.05.2017 | 08:58:33 | | | |
| 5. INF2 - частный критерий: количество знаний А.Харкевич, в. | Сумма знаний | 0.196 | 0.253 | 0.617 | 0.648 | 0.632 | 91.923 | 68.067 | 31.933 | 8.077 | 79.995 | 20.05.2017 | 08:58:34 | | | |
| 6. INF3 - частный критерий: Универсал, различия между фактами. | Семантический резонанс зна. | 0.358 | 0.332 | 0.609 | 0.787 | 0.687 | 95.395 | 65.090 | 34.910 | 4.615 | 80.237 | 20.05.2017 | 08:58:45 | | | |
| 6. INF3 - частный критерий: Универсал, различия между фактами. | Сумма знаний | 0.174 | 0.196 | 0.705 | 0.789 | 0.744 | 95.395 | 65.090 | 34.910 | 4.615 | 80.237 | 20.05.2017 | 08:58:45 | | | |
| 7. INF4 - частный критерий: ROI (Return On Investment), вероятн. | Семантический резонанс зна. | 0.184 | 0.241 | 0.695 | 0.726 | 0.710 | 68.077 | 79.624 | 20.176 | 31.923 | 73.950 | 20.05.2017 | 08:58:56 | | | |
| 7. INF4 - частный критерий: ROI (Return On Investment), вероятн. | Сумма знаний | 0.126 | 0.057 | 0.668 | 0.667 | 0.789 | 98.846 | 54.125 | 45.075 | 1.154 | 76.495 | 20.05.2017 | 08:58:56 | | | |
| 8. INF5 - частный критерий: ROI (Return On Investment), вероятн. | Семантический резонанс зна. | 0.209 | 0.248 | 0.655 | 0.723 | 0.687 | 70.000 | 82.085 | 37.915 | 30.000 | 76.045 | 20.05.2017 | 08:59:07 | | | |
| 8. INF5 - частный критерий: ROI (Return On Investment), вероятн. | Сумма знаний | 0.122 | 0.048 | 0.656 | 0.927 | 0.768 | 98.846 | 55.176 | 44.824 | 1.154 | 77.011 | 20.05.2017 | 08:59:07 | | | |
| 9. INF6 - частный критерий: различия безупречности, вер. | Семантический резонанс зна... | 0.330 | 0.217 | 0.615 | 0.744 | 0.673 | 95.000 | 61.781 | 38.219 | 5.000 | 78.390 | 20.05.2017 | 08:59:18 | | | |
| 9. INF6 - частный критерий: различия безупречности, вер. | Сумма знаний | 0.278 | 0.130 | 0.587 | 0.786 | 0.672 | 95.395 | 55.336 | 44.664 | 4.615 | 75.360 | 20.05.2017 | 08:59:18 | | | |
| 10. INF7 - частный критерий: различия безупречности, вер. | Семантический резонанс зна... | 0.329 | 0.201 | 0.609 | 0.800 | 0.693 | 94.615 | 63.221 | 36.779 | 5.385 | 78.918 | 20.05.2017 | 08:59:29 | | | |
| 10. INF7 - частный критерий: различия безупречности, вер. | Сумма знаний | 0.216 | 0.091 | 0.582 | 0.852 | 0.692 | 95.395 | 56.588 | 43.412 | 4.615 | 76.986 | 20.05.2017 | 08:59:29 | | | |

Рисунок 17. Достоверность статистических и когнитивных моделей, созданных на основе случайной выборки

На основе его сравнения с рисунком 9 можно сделать следующие выводы:

- достоверность лучшей модели INF5, отражающей реальный объект моделирования, примерно на 20% выше, чем аналогичной случайной модели;
- различие между достоверностью статистических моделей и моделей знаний, созданных на основе случайной выборки, значительно меньше, чем у моделей, отражающих реальный объект моделирования;
- в реальных моделях кроме шума есть также и информация об истинных причинно-следственных взаимосвязях факторов и их значений с одной стороны, и состояниями объекта моделирования, которые ими обуславливаются, с другой стороны, причем примерно 1/3 достоверности обусловлена отражением в реальных моделях закономерностей предметной области, а 2/3 достоверности обусловлено наличием шума в исходных данных. На основании этого можно предположить, что в исходных данных уровень сигнала о реальных причинно-следственных связях в моделируемой предметной области примерно в два раза ниже уровня шума.

2. РЕШЕНИЕ ЗАДАЧ ИДЕНТИФИКАЦИИ В НАИБОЛЕЕ ДОСТОВЕРНОЙ МОДЕЛИ

2.1. Решение задачи

В соответствии с технологией АСК-анализа зададим текущей модель INF4 (режим 5.6) (рисунок 15) и проведем пакетное распознавание в режиме 4.2.1.

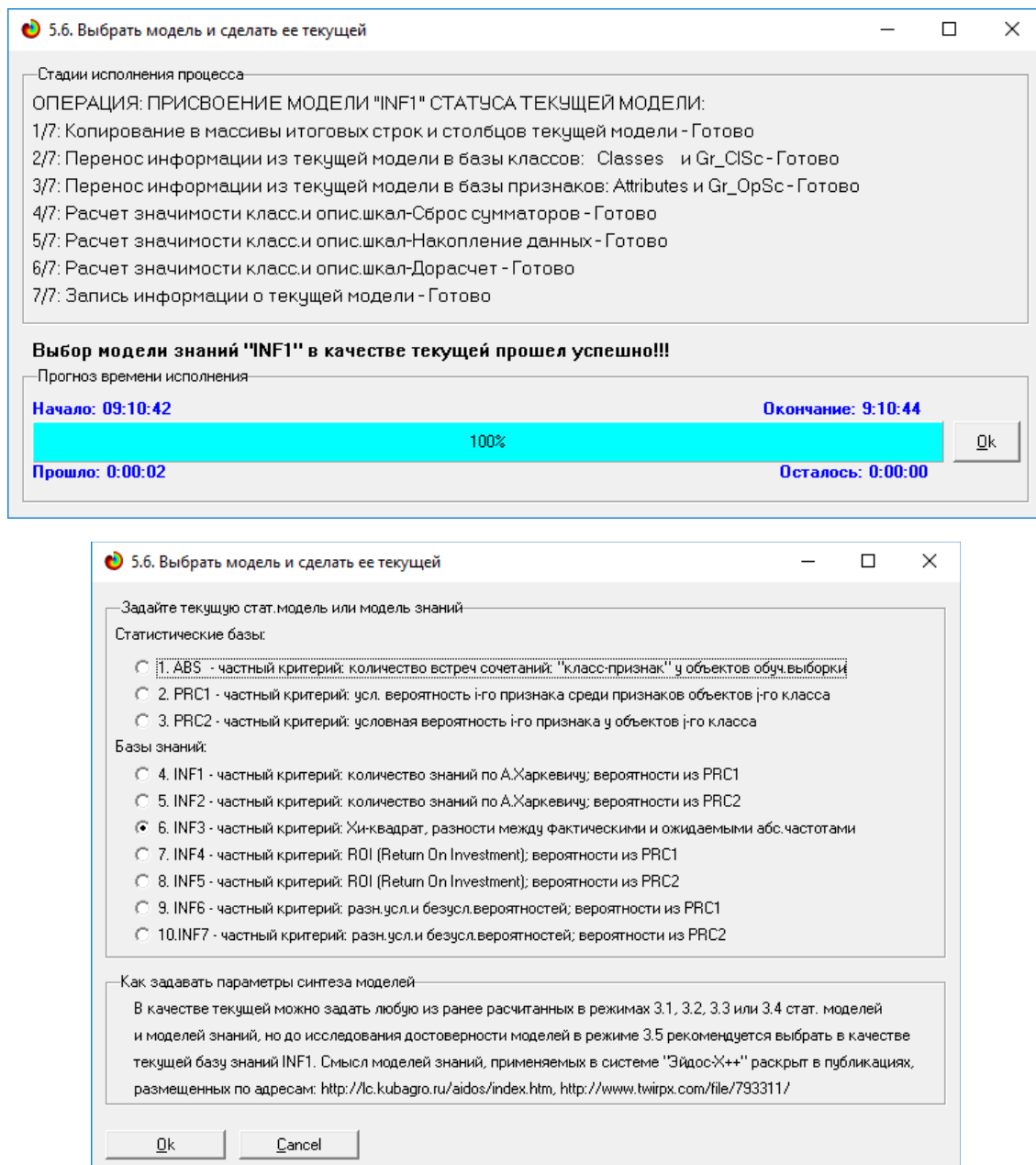


Рисунок 18. Экранные формы режима задания модели в качестве текущей

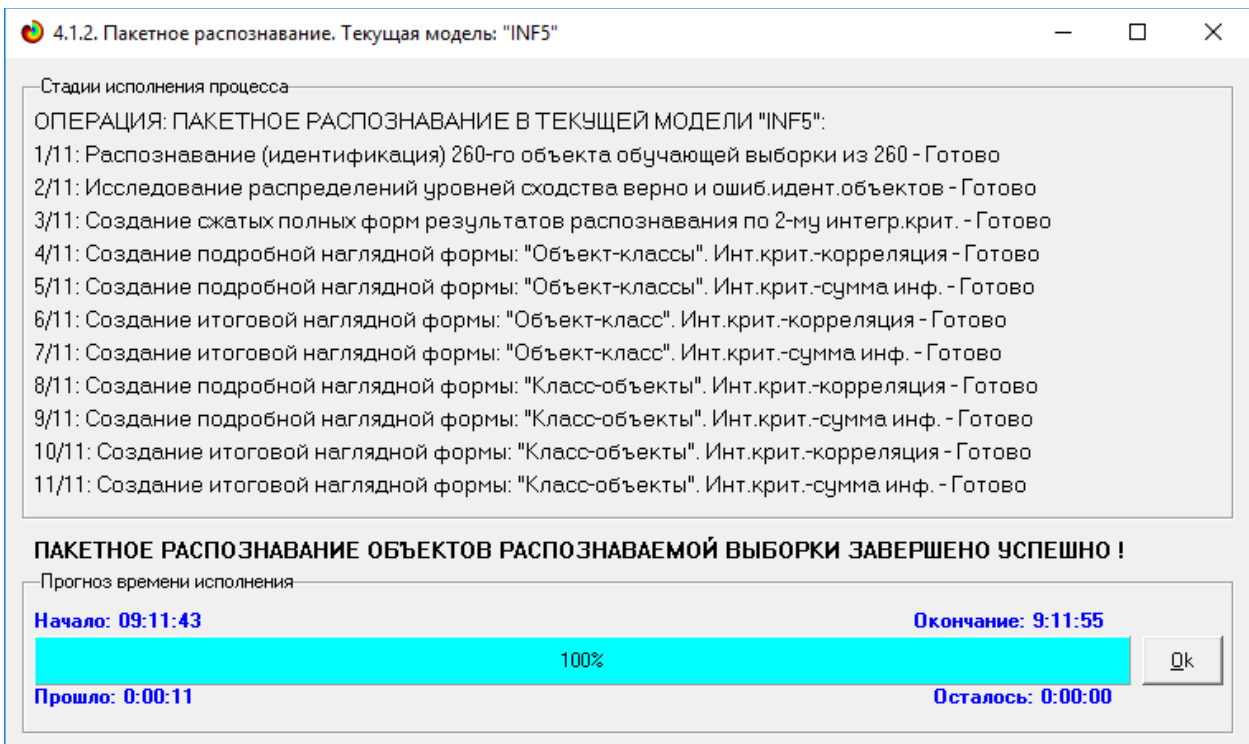


Рисунок 19. Экранная форма режима пакетного распознавания в текущей модели

В результате пакетного распознавания в текущей модели создается ряд баз данных, которые визуализируются в выходных экранах формах, отражающих результаты решения задачи идентификации и прогнозирования.

Режим 4.1.3 системы «Эйдос» обеспечивает отображение результатов идентификации и прогнозирования в различных формах:

1. Подробно наглядно: "Объект – классы".
2. Подробно наглядно: "Класс – объекты".
3. Итоги наглядно: "Объект – классы".
4. Итоги наглядно: "Класс – объекты".
5. Подробно сжато: "Объект – классы".
6. Обобщенная форма по достоверности моделей при разных интегральных критериях.
7. Обобщенный статистический анализ результатов идентификации по моделям и интегральным критериям.

8. Статистический анализ результатов идентификации по классам, моделям и интегральным критериям.

9. Распознавание уровня сходства при разных моделях и интегральных критериях.

10. Достоверность идентификации классов при разных моделях и интегральных критериях.

Ниже кратко рассмотрим некоторые из них.

На рисунках 17 и 18 приведены примеры прогнозов высокой и низкой достоверности частоты и классов ирисов в наиболее достоверной модели INF3 на основе наблюдения предыстории их развития:

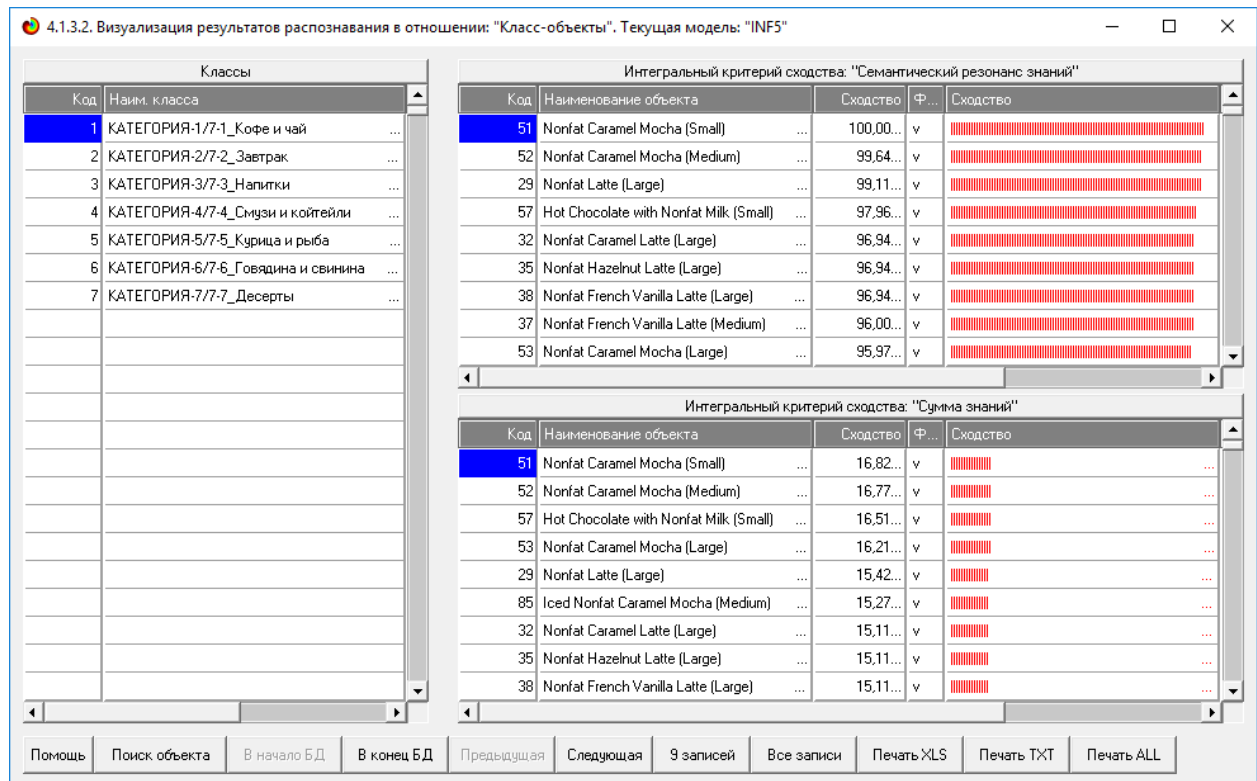


Рисунок 20. Пример идентификации классов в модели INF5

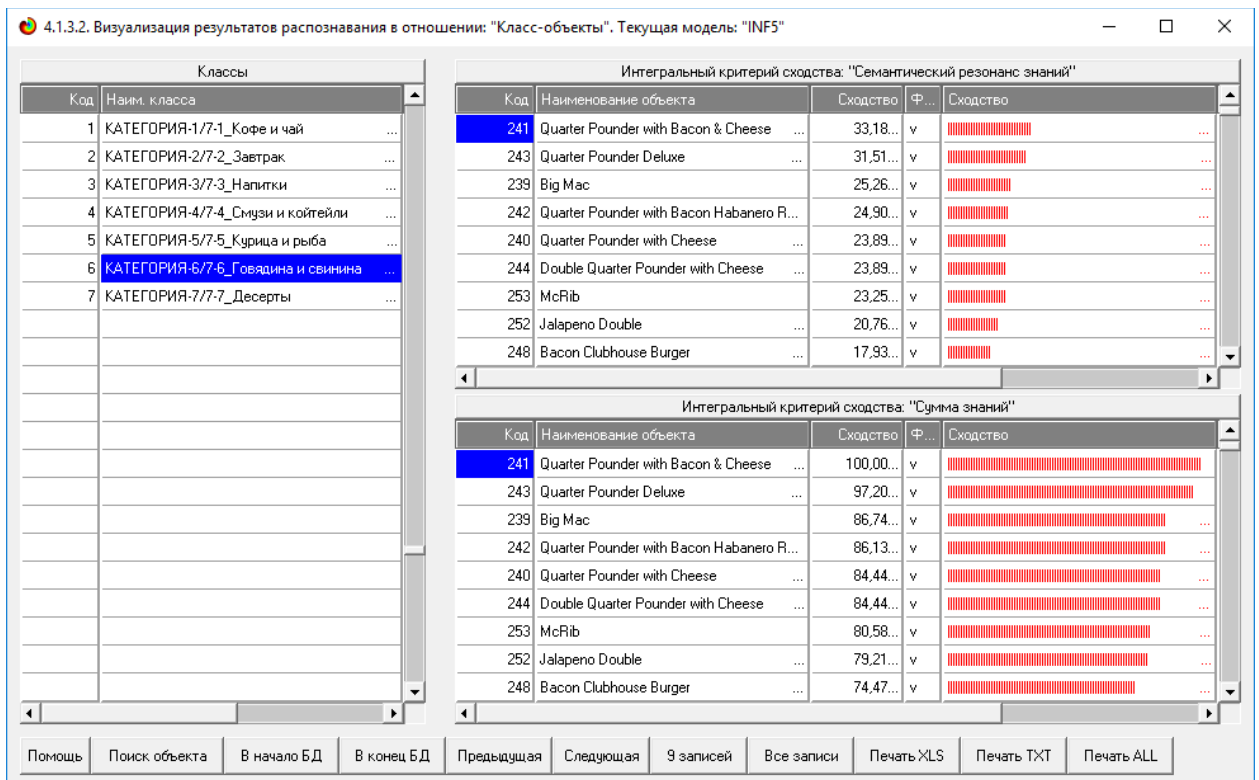


Рисунок 21. Пример идентификации классов в модели INF5

2.2. Когнитивные функции

Рассмотрим режим 4.5, в котором реализована возможность визуализации когнитивных функций для любых моделей и любых сочетаний классификационных и описательных шкал (рисунок 22)

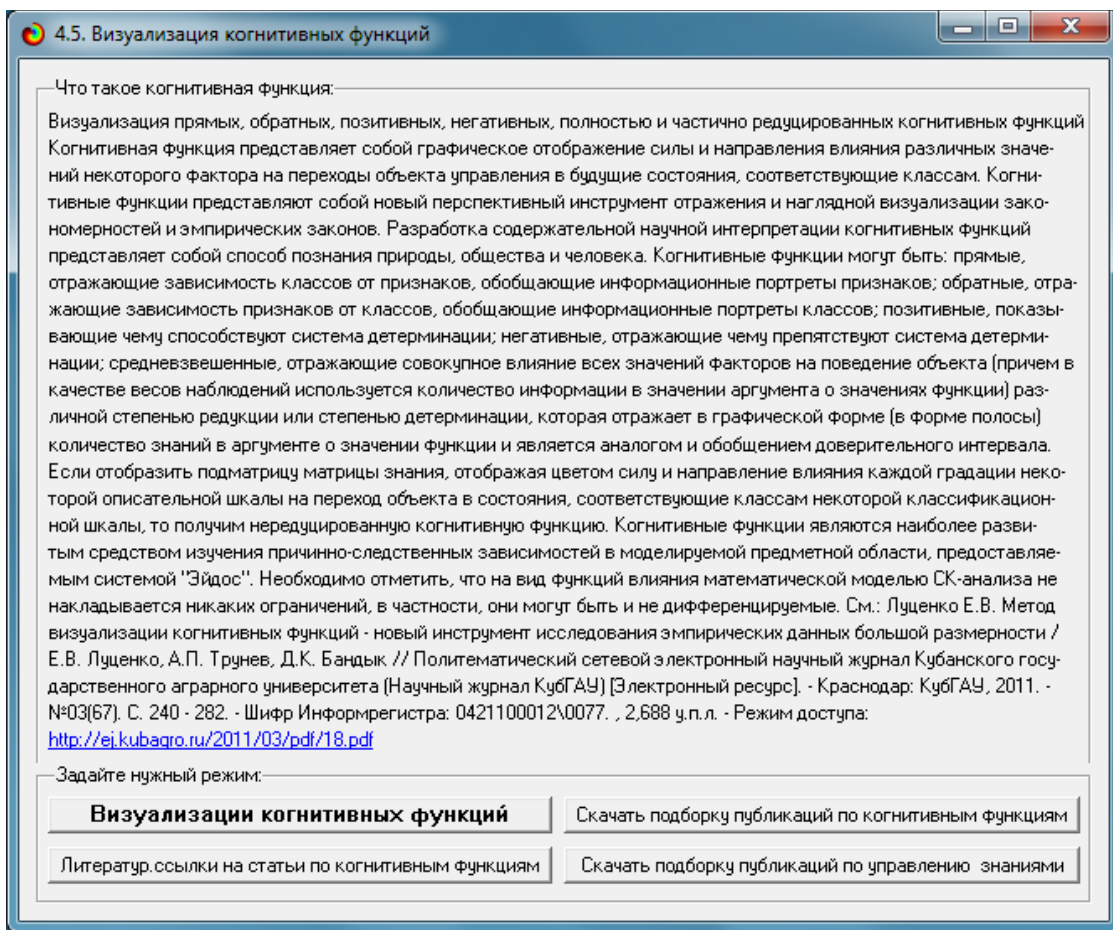


Рисунок 22. Экранная форма режима 4.5 системы «Эйдос-Х++»
«Визуализация когнитивных функций»

Применительно к задаче, рассматриваемой в данной работе, когнитивная функция показывает, какое количество информации содержится в различных значениях факторов о том, что объект моделирования перейдет в те или иные будущие состояния. Когнитивным функциям посвящено много работ автора 9 , но наиболее новой и обобщающей из них является работа. Поэтому здесь не будем останавливаться на описании того, что представляют собой когнитивные функции в АСК-анализе. На рисунке 23. приведены визуализации всех когнитивных функций данного приложения для модели INF5.

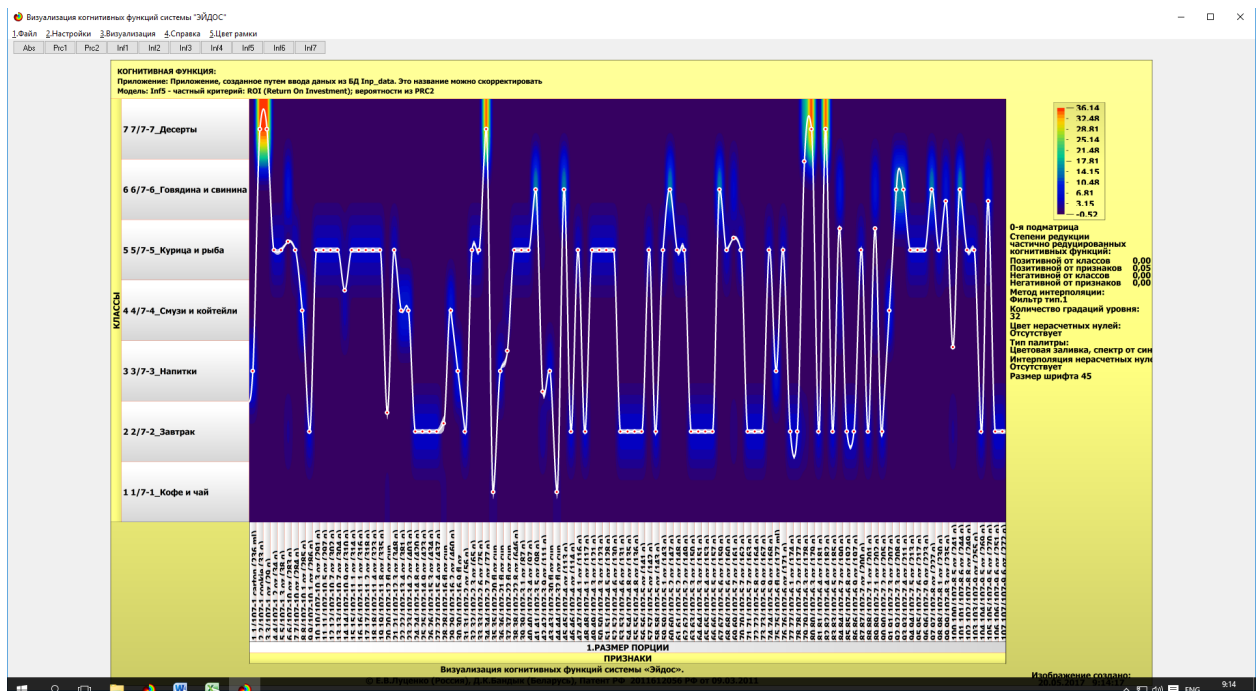


Рисунок 23. Визуализация когнитивных функций для обобщенных классов и всех описательных шкал для модели INF5

2.3. SWOT и PEST матрицы и диаграммы

SWOT-анализ является широко известным и общепризнанным методом стратегического планирования. Однако это не мешает тому, что он подвергается критике, часто вполне справедливой, обоснованной и хорошо аргументированной. В результате критического рассмотрения SWOT- анализа выявлено довольно много его слабых сторон (недостатков), источником которых является необходимость привлечения экспертов, в частности для оценки силы и направления влияния факторов. Ясно, что эксперты это делают неформализуемым путем (интуитивно), на основе своего профессионального опыта и компетенции. Но возможности экспертов имеют свои ограничения и часто по различным причинам они не могут и не хотят это сделать. Таким образом, возникает проблема проведения SWOT- анализа без привлечения экспертов. Эта проблема может решаться путем

автоматизации функций экспертов, т.е. путем измерения силы и направления влияния факторов непосредственно на основе эмпирических данных. Подобная технология разработана давно, ей уже около 30 лет, но она малоизвестна – это интеллектуальная система «Эйдос». Данная система всегда обеспечивала возможность проведения количественного автоматизированного SWOT-анализа без использования экспертных оценок непосредственно на основе эмпирических данных. Результаты SWOT-анализа выводились в форме информационных портретов. В версии системы под MS Windows: «Эйдос-X++» предложено автоматизированное количественное решение прямой и обратной задач SWOT-анализа с построением традиционных SWOT-матриц и диаграмм (рисунок 24).

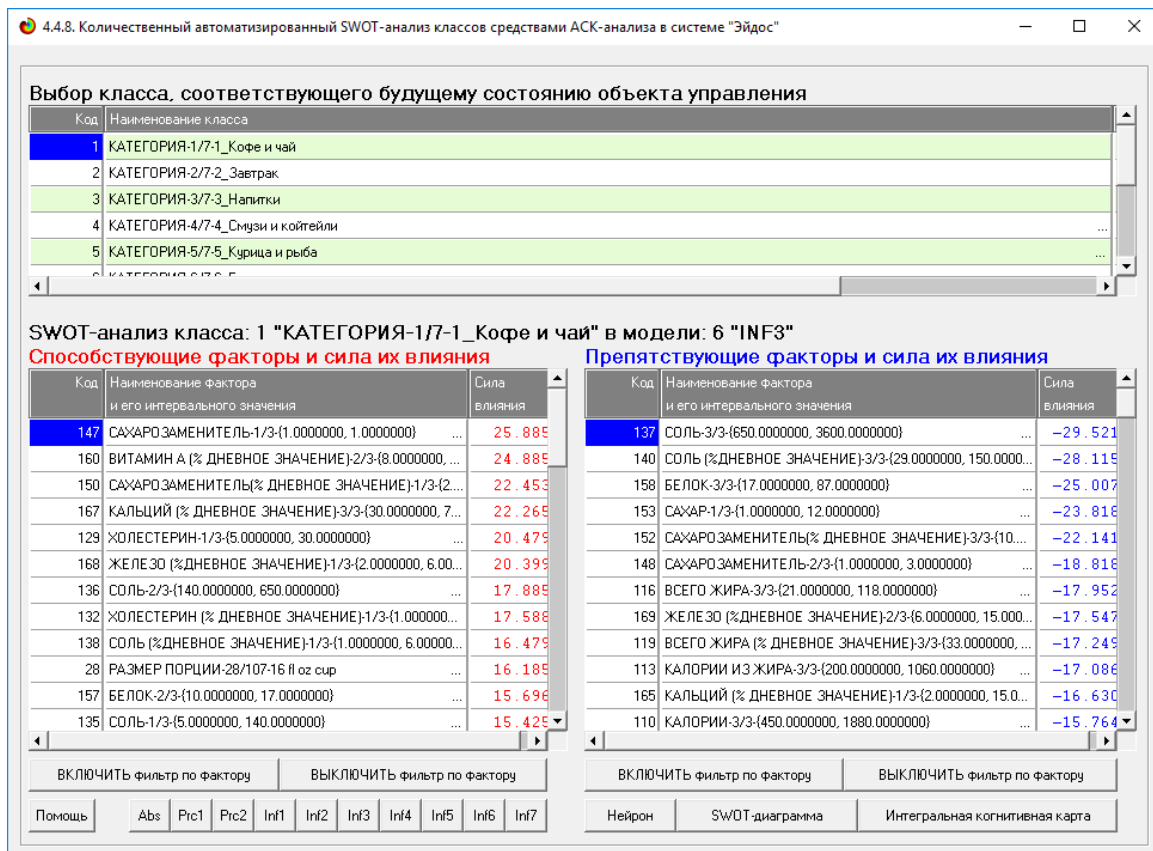


Рисунок 24. Пример SWOT-матрицы в модели INF5

На рисунке 25 приведены примеры инвертированной SWOT-матрицы и инвертированной SWOT-диаграммы в модели INF5.

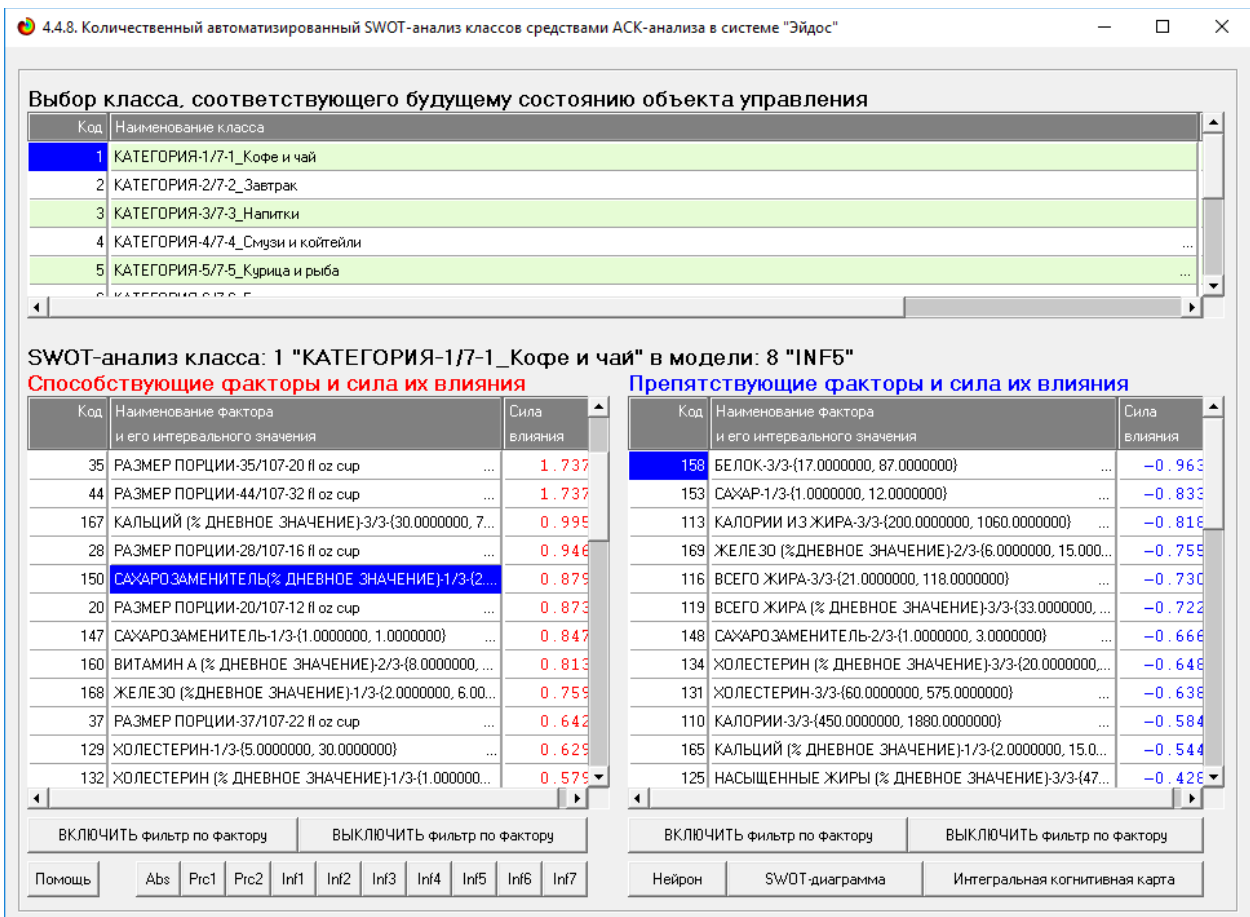


Рисунок 25. Пример SWOT-матрицы в модели INF5

2.4. НЕЛОКАЛЬНЫЕ НЕЙРОННЫЕ СЕТИ И НЕЙРОНЫ.

Каждому классу системно-когнитивной модели соответствует не локальный нейрон совокупность, которых образует не локальную нейронную сеть [9] В качестве примеров приведены рисунок 26-27.

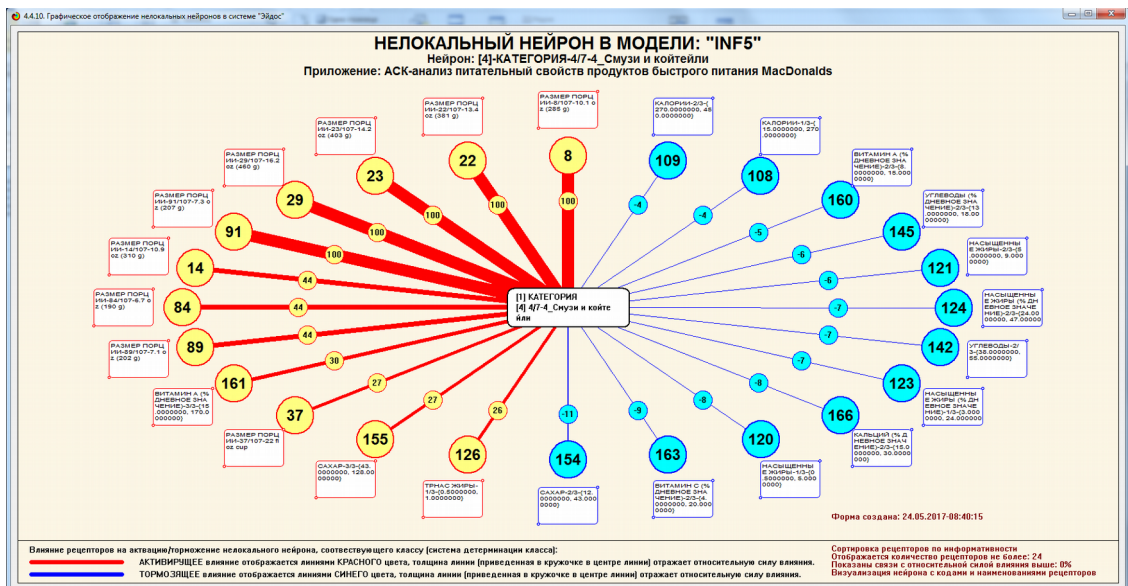


Рисунок 26. Пример нелокальные нейронные сети и нейроны модели INF5

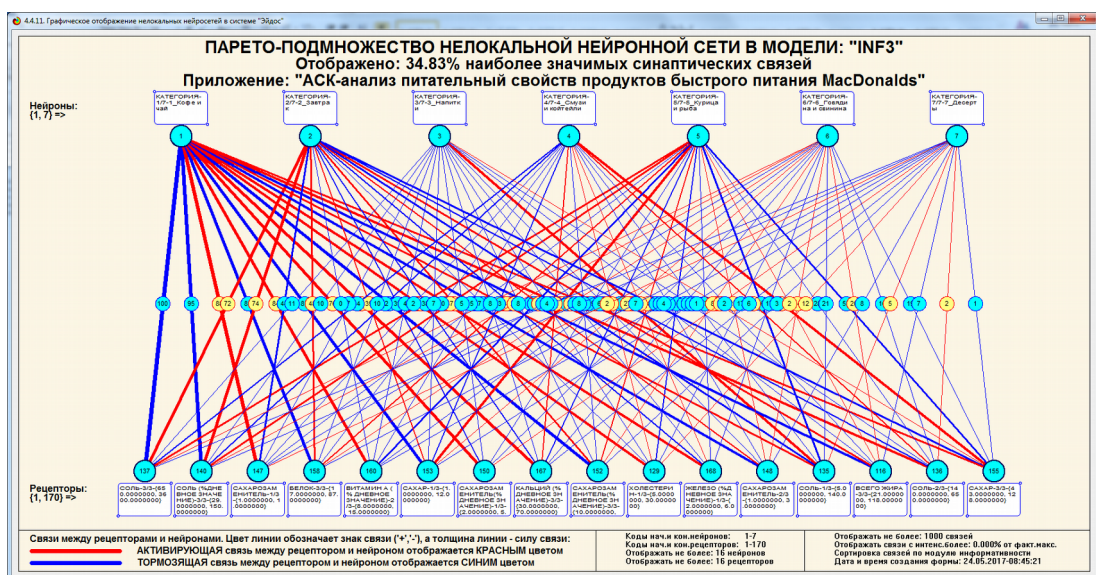


Рисунок 26. Пример нелокальные нейронные сети и нейроны модели INF5

2.5 КЛАСТЕРНЫЙ И КОНСТРУКТИВНЫЙ АНАЛИЗ

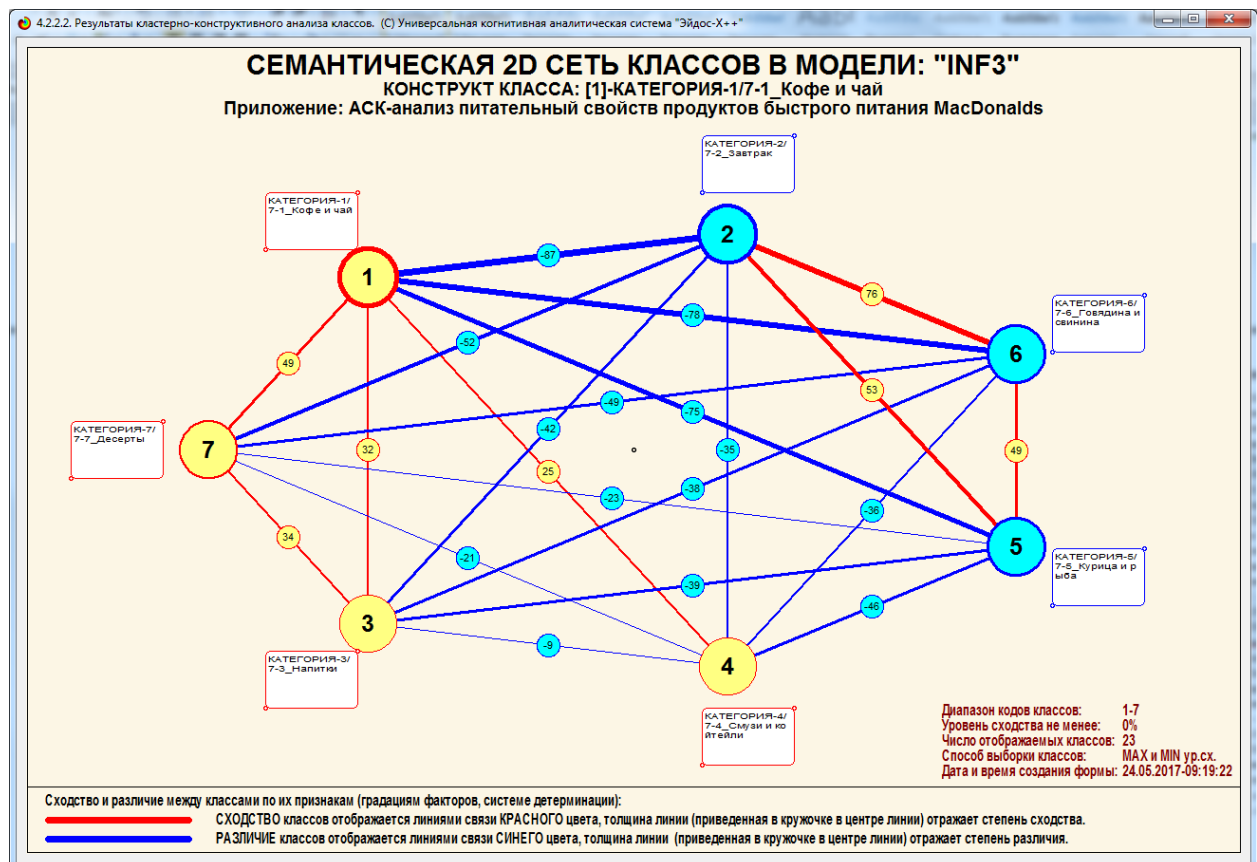


Рисунок 27. Пример кластерный и конструктивный анализ модели INF5

ЗАКЛЮЧЕНИЕ

Так как существует множество систем искусственного интеллекта, то возникает необходимость сопоставимой оценки качества их математических моделей. Одним из вариантов решения этой задачи является тестирование различных системы на общей базе исходных данных, для чего очень удобно использовать общедоступную базу Kaggle. В данной курсовой работе приводится развернутый пример использования базы данных Kaggle для оценки качества математических моделей, применяемых в АСК-анализе и его программном инструментарии системе искусственного интеллекта «Эйдос». При этом наиболее достоверной в данном приложении оказались модели INF5, основанная на семантической мере целесообразности информации А.Харкевича при интегральном критерии «Сумма знаний». Точность модели составляет 0,687, что заметно выше, чем достоверность экспертных оценок, которая считается равной около 69%. Для оценки достоверности моделей в АСК-анализе и системе «Эйдос» используется метрика, сходная с F-критерием. Также обращает на себя внимание, что статистические модели в данном приложении дают примерно на 21% более низкую средневзвешенную достоверность идентификации и не идентификации, чем модели знаний, что, как правило, наблюдается и в других приложениях. Этим и оправдано применение моделей знаний.

На основе базы данных Kaggle, рассмотренной в данной курсовой работе, построить модели прогнозирования не с помощью АСК-анализа и реализующей его системы «Эйдос», а с применением других математических методов и реализующих их программных систем, то можно сопоставимо сравнить их качество.

СПИСОК ИСПОЛЬЗОВАННЫХ ИСТОЧНИКОВ

1. Луценко Е.В. Методика использования репозитория UCI для оценки качества математических моделей систем искусственного интеллекта / Е.В. Луценко // Полitemатический сетевой электронный научный журнал Кубанского государственного аграрного университета (Научный журнал КубГАУ) [Электронный ресурс]. – Краснодар: http://lc.kubagro.ru/My_training_schedule.doc
КубГАУ, 2003. – №02(002). С. 120 – 145. – IDA [article ID]: 0020302012.
– Режим доступа: <http://ej.kubagro.ru/2003/02/pdf/12.pdf>, 1,625 у.п.л.
2. Луценко Е.В. АСК-анализ, моделирование и идентификация живых существ на основе их фенотипических признаков / Е.В. Луценко, Ю.Н. Пенкина // Полitemатический сетевой электронный научный журнал Кубанского государственного аграрного университета (Научный журнал КубГАУ) [Электронный ресурс]. – Краснодар: Куб- ГАУ, 2014. – №06(100). С. 1346 – 1395. – IDA [article ID]: 1001406090. – Режим доступа: <http://ej.kubagro.ru/2014/06/pdf/90.pdf>, 3,125 у.п.л.
3. Луценко Е.В. Теоретические основы, технология и инструментарий автоматизированного системно-когнитивного анализа и возможности его применения для сопоставимой оценки эффективности вузов / Е.В. Луценко, В.Е. Коржаков // Полitemатический сетевой электронный научный журнал Кубанского государственного аграрного университета (Научный журнал КубГАУ) [Электронный ресурс]. – Краснодар: Куб- ГАУ, 2013. – №04(088). С. 340 – 359. – IDA [article ID]: 0881304022. – Режим доступа: <http://ej.kubagro.ru/2013/04/pdf/22.pdf>, 1,25 у.п.л.
4. Луценко Е.В. Автоматизированный системно-когнитивный анализ в управлении активными объектами (системная теория информации и ее применение в исследовании экономических, социально-психологических, технологических и организационно-технических систем): Монография (научное издание). – Краснодар: КубГАУ. 2002. – 605 с.

5. [Электронный ресурс]. Статья "baza dannix sotrudnikov": <http://allexcel.ru/gotovye-tablitsy-excel-besplatno>, свободный. - Загл. с экрана. Яз. анг.
6. Сайт профессора Е.В.Луценко [Электронный ресурс]. Режим доступа: <http://lc.kubagro.ru/>, свободный. - Загл. с экрана. Яз. рус.
7. Луценко Е.В. 30 лет системе «Эйдос» – одной из старейших отечественных универсальных систем искусственного интеллекта, широко применяемых и развивающихся и в настоящее время / Е.В. Луценко // Политематический сетевой электронный научный журнал Кубанского государственного аграрного университета (Научный журнал КубГАУ) [Электронный ресурс]. – Краснодар: КубГАУ, 2009. – №10(054). С. 48 – 77. – Шифр Информрегистра: 0420900012\0110, IDA [article ID]: 0540910004. – Режим доступа: <http://ej.kubagro.ru/2009/10/pdf/04.pdf>, 1,875 у.п.л.
8. Луценко Е.В. Универсальная когнитивная аналитическая система «Эйдос- X++» / Е.В. Луценко // Политематический сетевой электронный научный журнал Кубанского государственного аграрного университета (Научный журнал КубГАУ) [Электронный ресурс]. – Краснодар: КубГАУ, 2012. – №09(083). С. 328 – 356. – IDA [article ID]: 0831209025. – Режим доступа: <http://ej.kubagro.ru/2012/09/pdf/25.pdf>, 1,812 у.п.л.
9. Луценко Е.В., Боровко А.Ю. ПРОГНОЗИРОВАНИЕ КОЛИЧЕСТВА И КЛАССОВ СОЛНЕЧНЫХ ВСПЫШЕК НА ОСНОВЕ ИХ ПРЕДЫСТОРИИ ПО ДАННЫМ РЕПОЗИТОРИЯ UCI С ПРИМЕНЕНИЕМ АСК- АНАЛИЗА И ИНТЕЛЛЕКТУАЛЬНОЙ СИСТЕМЫ «ЭЙДОС» // Политематический сетевой электронный научный журнал Кубанского государственного аграрного университета (Научный журнал КубГАУ) [Электронный ресурс]. – Краснодар: КубГАУ, 2014. – IDA [article ID]: 0831209025. – Режим доступа: <http://ej.kubagro.ru/2014/10/pdf/99.pdf>